

TRAITEMENT D'IMAGES SPORTIVES ET MÉCATRONIQUE AU SERVICE DE LA CÉCITÉ



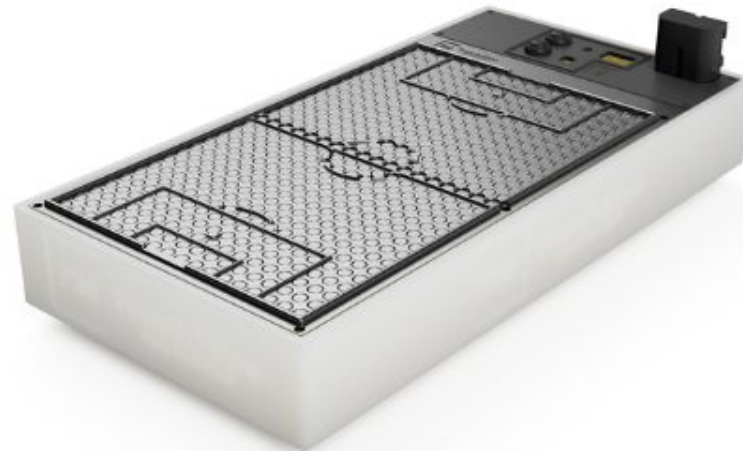
TRAITEMENT D'IMAGES SPORTIVES ET MÉCATRONIQUE AU SERVICE DE LA CÉCITÉ

Accessibilité des matches pour les personnes malvoyantes



Audiodescription pour les spectateurs malvoyants (Coupe du Monde de rugby, 2023)

© Ilian Valet



Touch2See

© Touch2See

TRAITEMENT D'IMAGES SPORTIVES ET MÉCATRONIQUE AU SERVICE DE LA CÉCITÉ

Etude de la position d'une balle



Balle équipée d'une centrale inertielles
(Coupe du Monde de football, 2022)

© Adidas

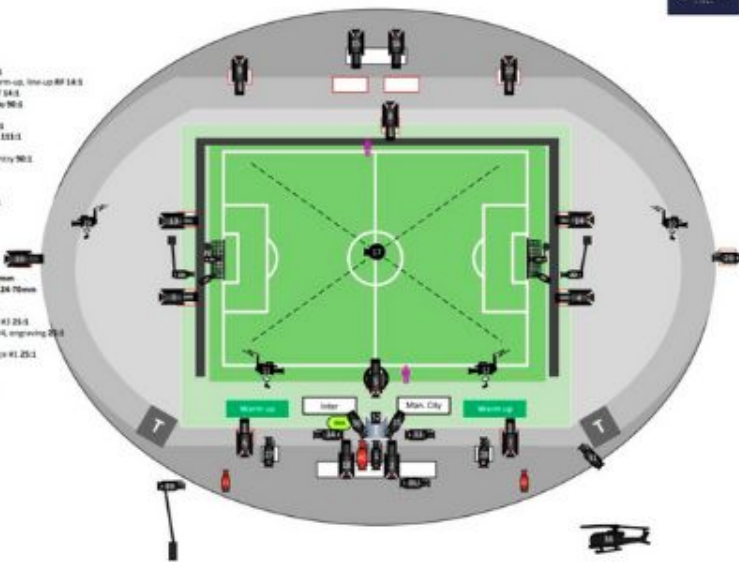
HB MULTI CAMERAS

- 1 - Main Camera Gantry 29:3
- 2 - Camera Gantry 113:8
- 3 - Low behind left goal SSMM 90:3
- 4 - Low behind right goal SSMM 90:3
- 5 - Pitchside halfway line outside 90:3
- 6 - Cam in stand left SSMM 90:3
- 7 - Cam in stand right SSMM 90:3
- 8 - Reverse center pitch SSMM 90:3
- 9 - Reverse goal line in stand left SSMM 90:3
- 10 - Reverse goal line in stand right SSMM 90:3
- 11 - Monitor camera main camera, no arm up, line up RF 14:3
- 12 - Headcam pitch right, team arrival RF 24:3
- 13 - Low behind left goal far, trophy lift in May 90:3
- 14 - Low behind right goal far, trophy lift in May 90:3
- 15 - Monitor camera main camera, no arm up, line up RF 14:3
- 16 - Man. City manager camera remote, high 111:3
- 17 - Aerial system 18:3
- 18 - Additional Close-Up & Back-Up Main Gantry 90:3
- 19 - High behind left goal, no arm up, line up RF 14:3
- 20 - High behind right goal, no arm up, line up RF 14:3
- 21 - Headhead on crane/3D mounted left 34:3
- 22 - Headhead on crane/3D mounted right 34:3
- 23 - Mini cam in-goal left WMMVA
- 24 - Mini cam in-goal right WMMVA
- 25 - Polecam mounted left WPA
- 26 - Polecam mounted right WPA
- 27 - Item left 25:3
- 28 - Item right 25:3
- 29 - Camera for cameras Inter left RF 24:70mm
- 30 - Camera for cameras Man. City right RF 24:70mm
- 31 - Internal Safety 11:3
- 32 - Remote control in tunnel corner 14:3
- 33 - Team out in tunnel right, team arrival #1 25:3
- 34 - Teams out in corridor left, team arrival #4, engraving 25:3
- 35 - Teams out in tunnel right, press conference #1 25:3
- 36 - Teams out in tunnel left, press conference #2 25:3
- 37 - VR camera in tunnel corner 14:3
- 38 - Helicopter Gyro 40:3
- 39 - External beauty on hot (30-60m) 14:3
- 40 - Coaching Feed Main Gantry
- 41 - Coach feed camera left
- 42 - Goal Line Technology right
- BU - Back-up Main Gantry

■ Existing platform ■ Temporary platform

UEFA Champions League Final 2023
Atatürk Olympic Stadium Istanbul, Saturday June 10th

Version 6.23.05.23

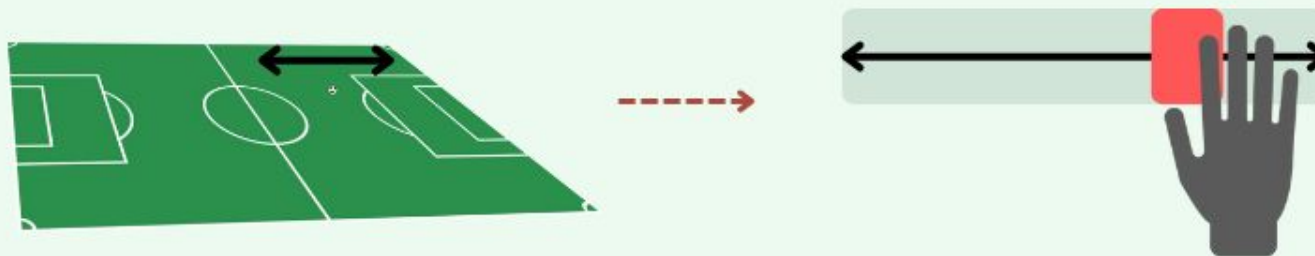


Caméras autour d'un terrain de football
(Finale de la Ligue des Champions, 2023)

© Dan Chung

Enjeux :

- Etude d'un système visant à :
 - Recueillir les positions de la balle sur un terrain de football à partir d'images
 - Transmettre en temps réel l'information par le toucher



- Évaluation des performances
- Détermination de la validité d'une approche à une caméra

SOMMAIRE

O1

TRAITEMENT DE L' INFORMATION VISUELLE

- a. Principe de l'algorithme

O2

TRANSMISSION DE L'INFORMATION HAPTIQUE

- a. Choix du mécanisme
- b. Mise en mouvement

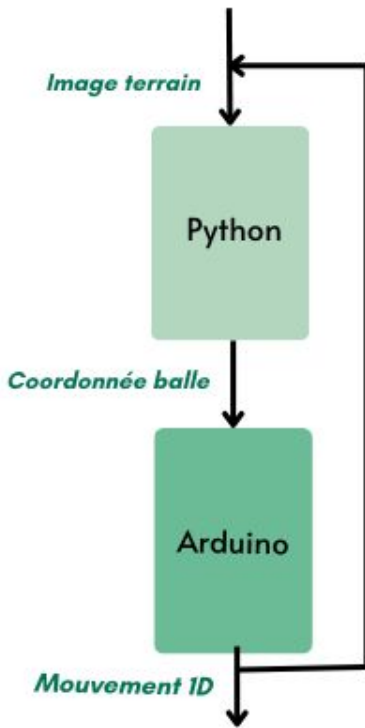
O3

PERFORMANCES

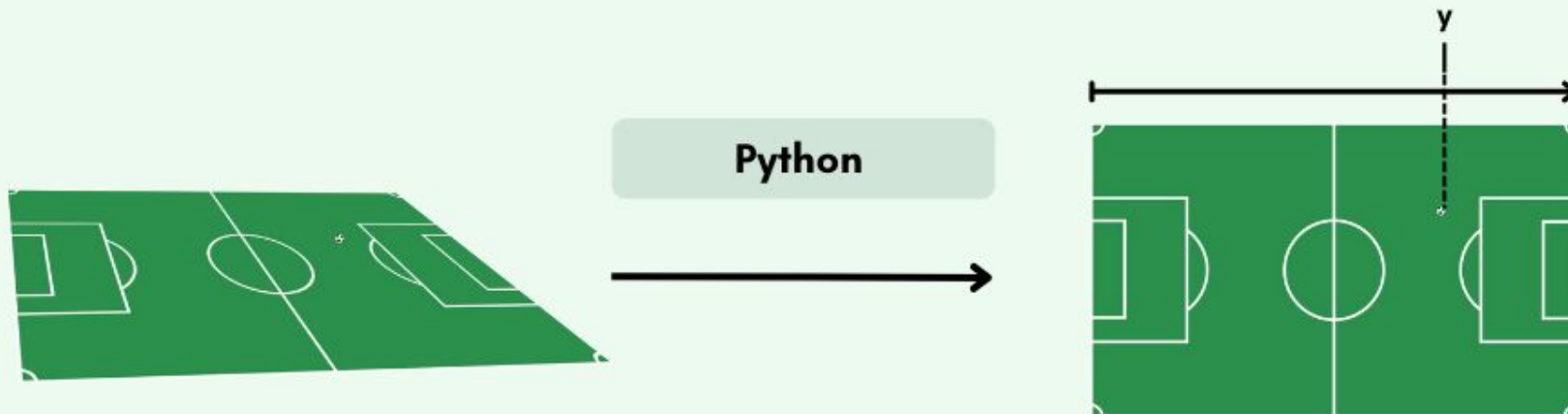
- a. Algorithme
- b. Système mécanique
- c. Extension du projet

O4

CONCLUSION



I. TRAITEMENT DE L'INFORMATION VISUELLE



Entrée :

vidéo = succession
d'images

Sortie :

coordonnée y du
ballon

Hypothèses :

- (H1) Ballon au sol
- (H2) Ø distorsion image
- (H3) 4 coins terrain filmés

I. TRAITEMENT DE L'INFORMATION VISUELLE

A. PRINCIPE DE L'ALGORITHME



© Pond5

Image caméraSegmentation couleur
Filtrage bruit

Contours, coins



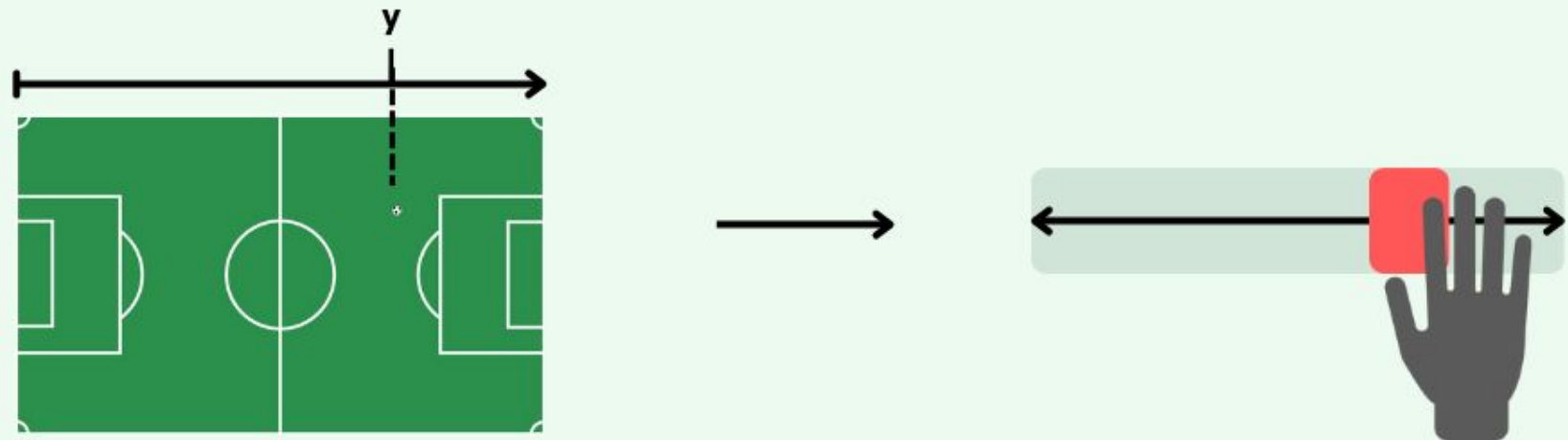
Matrice projection



Coordonnées balle

Projection
**Coordonnées balle
corrigées**

II. TRANSMISSION DE L'INFORMATION HAPTIQUE



Entrée : succession
coordonnées y
(Python)

Sortie :
Mouvement
translation 1D

Création du mouvement ID

- Moteurs linéaires
- Moteurs rotatifs



Moteurs à courant continu, synchrone,
asynchrone



Pas à pas



Servomoteur

Position

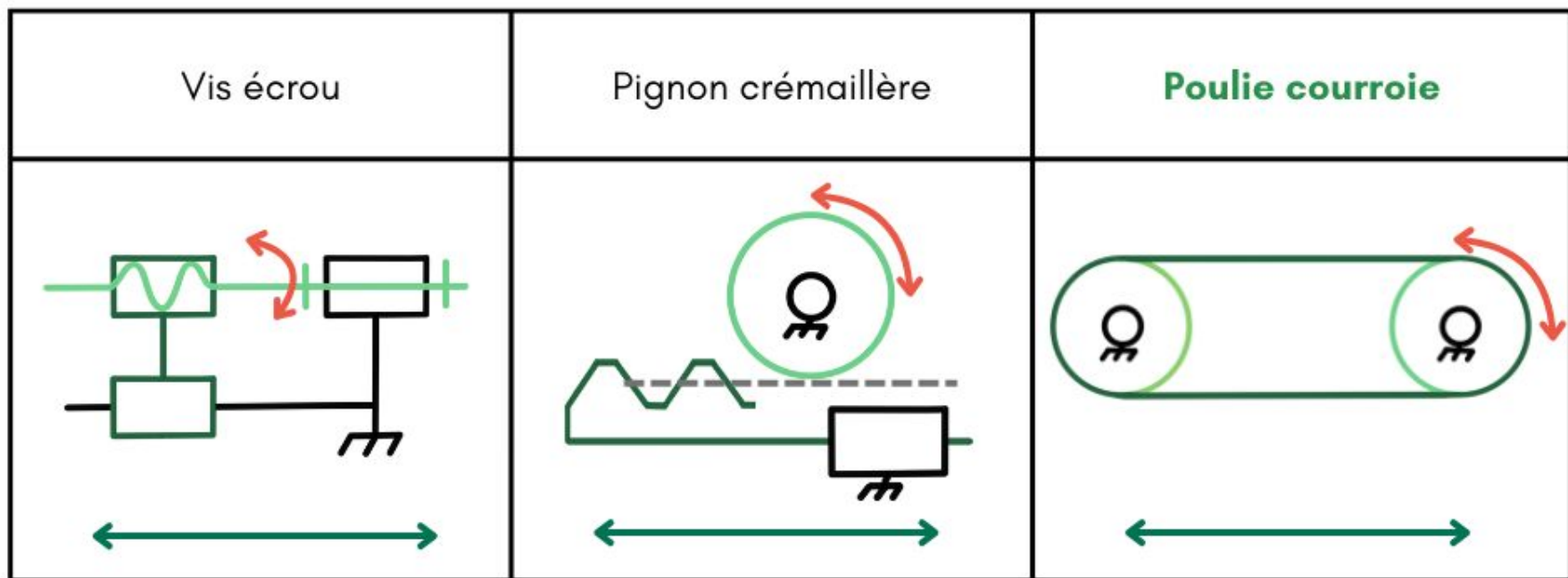
Vitesse

Moteurs rotatifs et usages

© techbriefs.com

Transformation mouvement : rotation -> translation

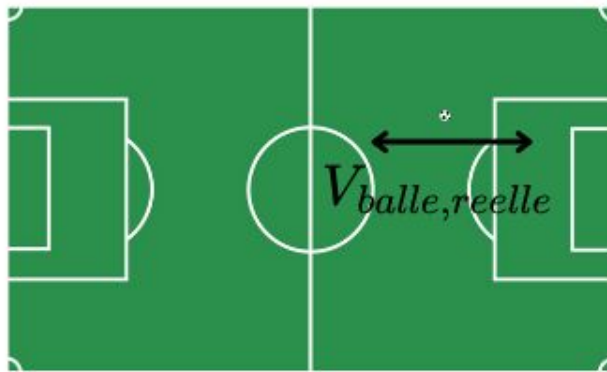
Relation linéaire vitesses rotation / translation



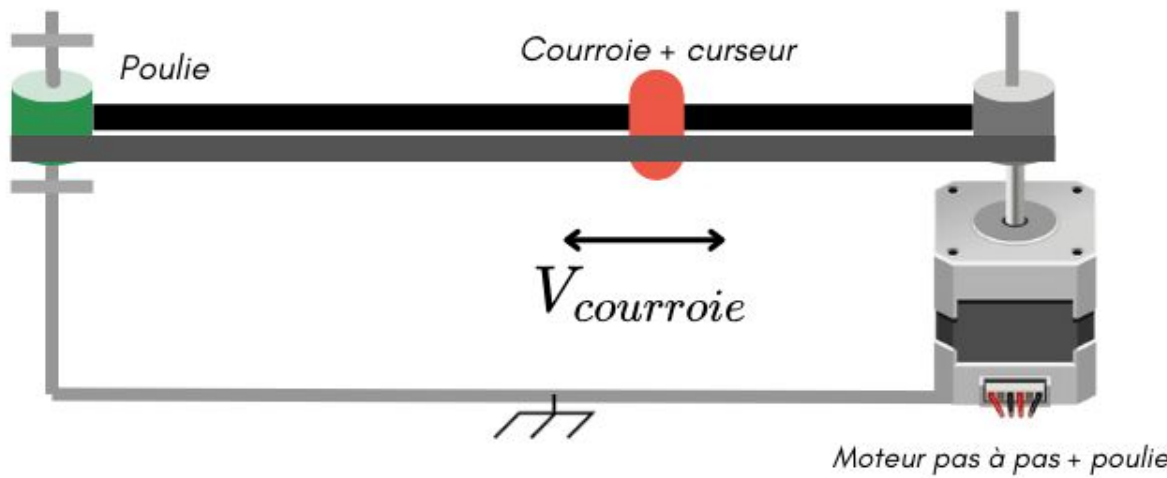
- Réversibilité
- Ø usure
- Course ajustable

II. TRANSMISSION DE L'INFORMATION HAPTIQUE

A. CHOIX DU MÉCANISME



$L_{terrain}$



$L_{systeme}$

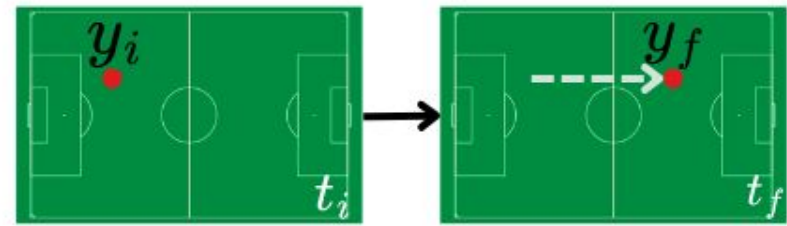
$$V_{courroie} = k \times V_{balle,reelle} \quad : (1) \quad \text{où} \quad k = \frac{L_{systeme}}{L_{terrain}}$$

Le système doit vérifier :

$$V_{courroie} = k \times V_{balle,reelle} \quad : (1) \quad \text{où } k = \frac{L_{systeme}}{L_{terrain}}$$

I - Vitesse de rotation du moteur

$$V_{balle,reelle} = \lim_{dt \rightarrow 0} \frac{dy_{balle,reelle}}{dt} \approx \frac{y_f - y_i}{t_f - t_i}$$



$$(1) \Leftrightarrow r\omega_{rot,rad} = k \frac{(y_f - y_i)}{(t_f - t_i)} \Leftrightarrow \omega_{rot,rad} = \frac{k(y_f - y_i)}{r(t_f - t_i)} \text{ en rad/s}$$

Arduino : vitesses en tour / min (rpm) :

$$\omega_{rot} = \lambda \frac{k(y_f - y_i)}{r(t_f - t_i)} \quad \text{où } \lambda = \frac{60}{2\pi}$$

2 - Nombre de pas à réaliser

$$\omega_{rot,rad} = \lim_{dt \rightarrow 0} \frac{d\theta_{poulie}}{dt} \approx \frac{(\theta_f - \theta_i)}{(t_f - t_i)}$$

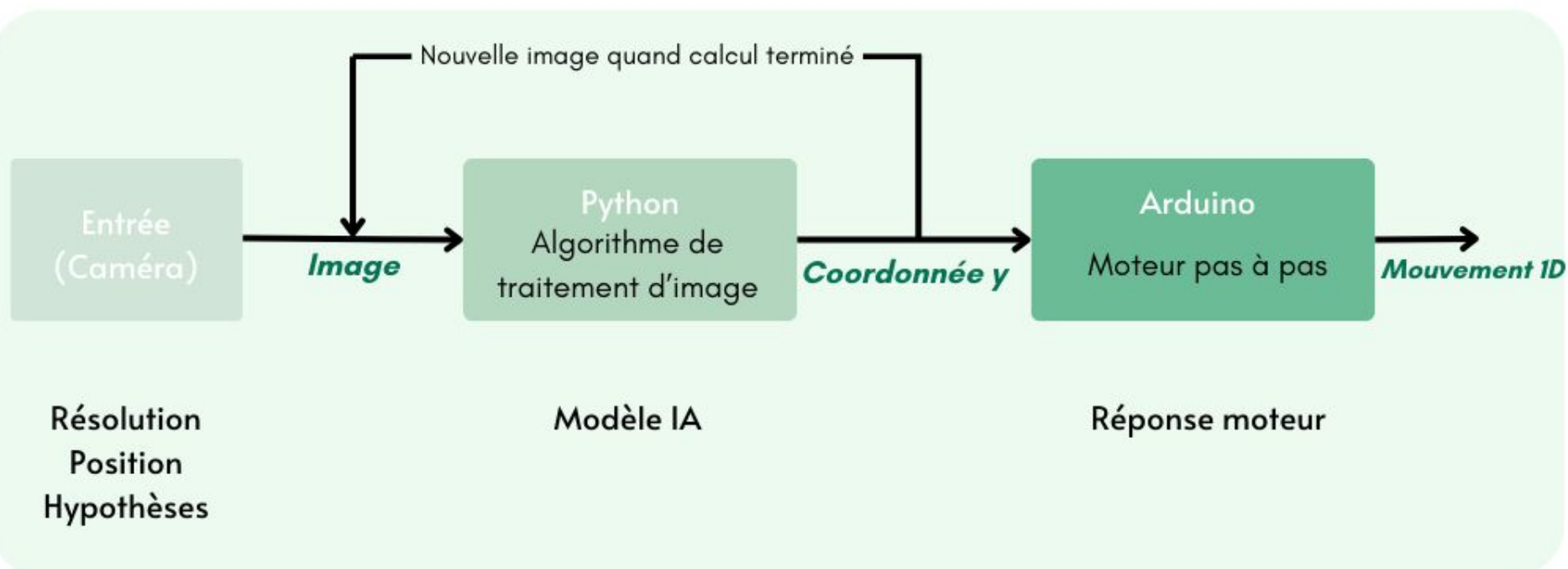
$$\Rightarrow \frac{\theta_f - \theta_i}{t_f - t_i} = \frac{k(y_f - y_i)}{r(t_f - t_i)} \Rightarrow \theta_f - \theta_i = \frac{k(y_f - y_i)}{r}$$

Or $\theta_f - \theta_i = N_{pas} \theta_{1pas}$

$$N_{pas} = \frac{k(y_f - y_i)}{r\theta_{1pas}}$$

III. PERFORMANCES DU SYSTÈME

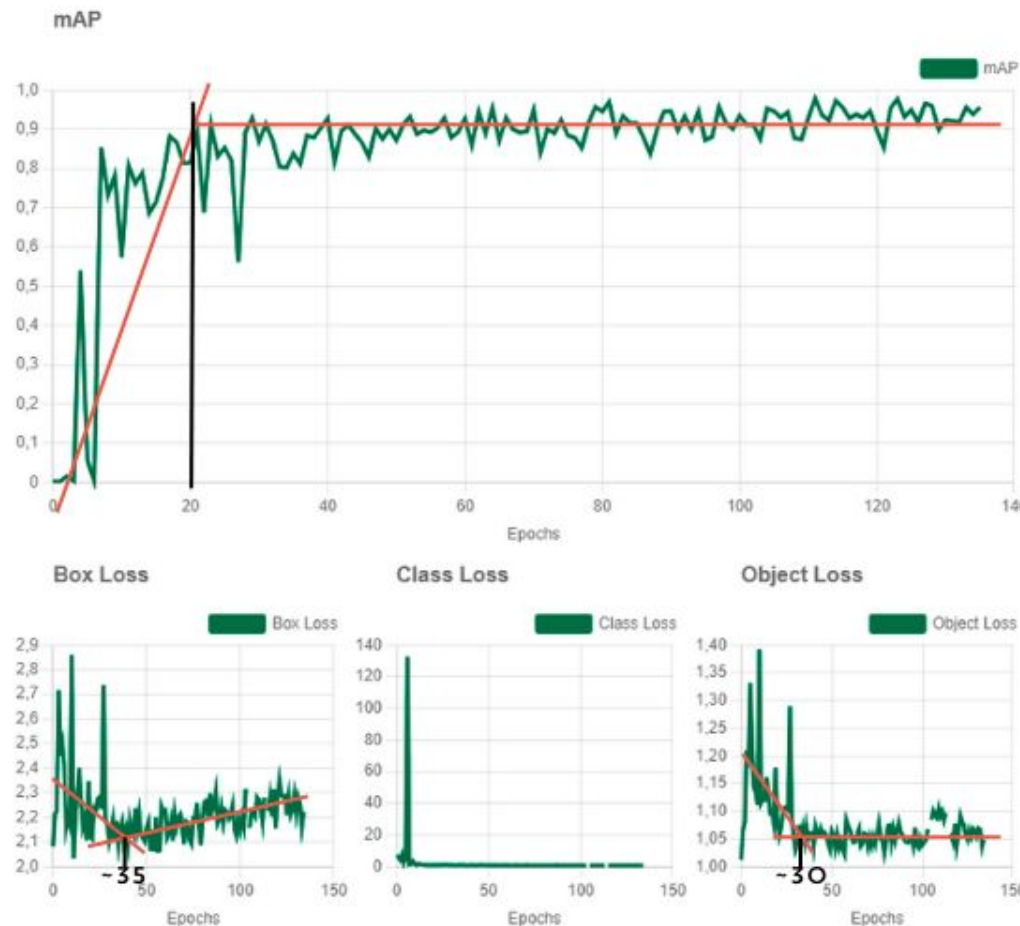
Etude de la rapidité et de la précision



III. PERFORMANCES DU SYSTÈME RÉEL

A. ALGORITHME

I - Modèle de l'IA



Courbes d'entraînement du modèle
(interface d'entraînement Roboflow)

2 - Paramètres d'entrée

Logiciel de CAO pour générer images terrains / ballons :

Paramètres fixes

**Positions balle,
caméra**

→ Grande quantité de tests individuels avec les mêmes conditions expérimentales

III. PERFORMANCES DU SYSTÈME RÉEL

A. ALGORITHME

2 - Paramètres d'entrée : Résolution

Blender

230 positions balle
/ résolution
Caméra fixée



Exemples d'images générées

Python

Distance
Temps calcul
Moyennes/résolut°

Distance (m)

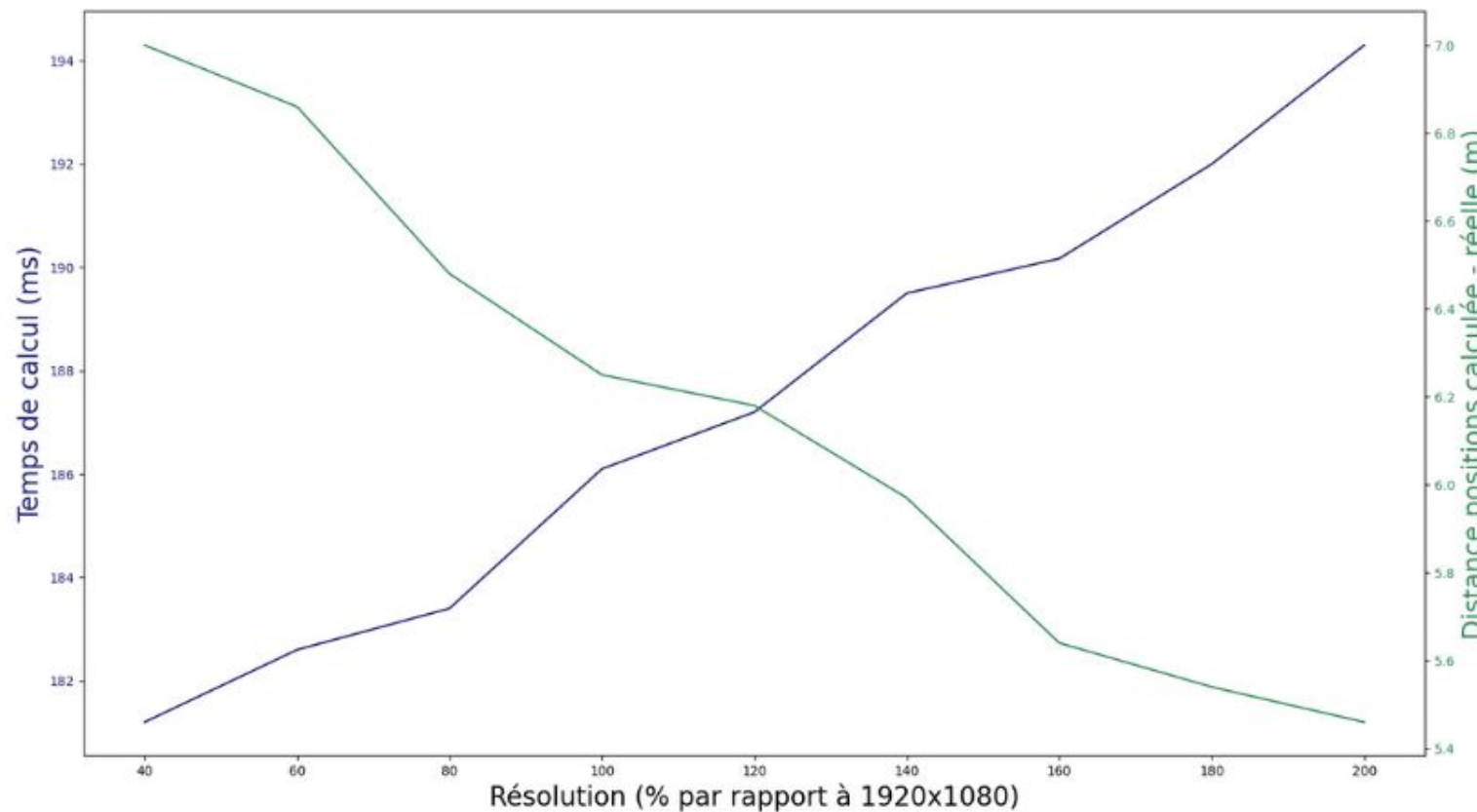
$$\delta = |y_{exp} - y_{th}|$$

III. PERFORMANCES DU SYSTÈME RÉEL

A. ALGORITHME

2 - Paramètres d'entrée : Résolution

-> Compromis vitesse précision

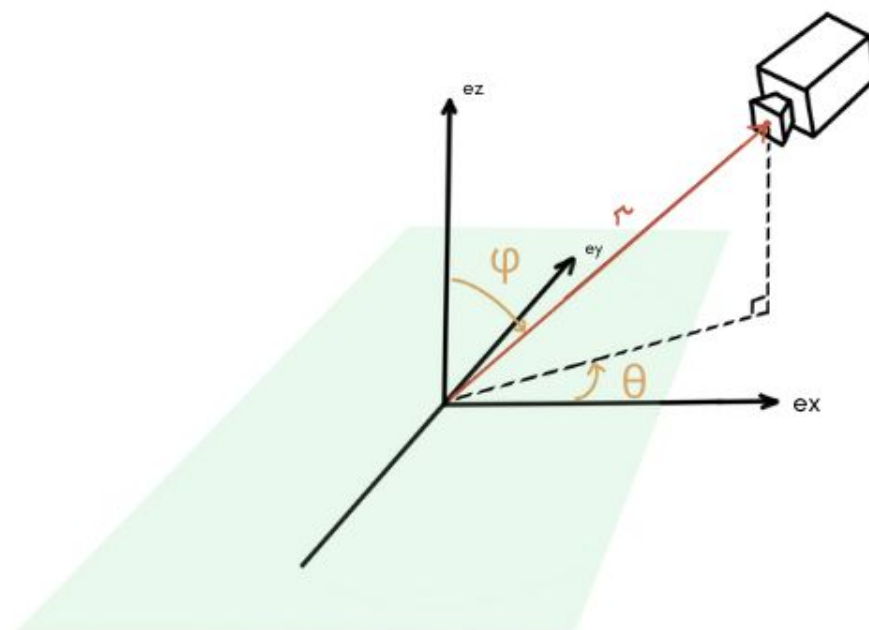


Temps de calcul et distance position calculée / réelle en fonction de la résolution

80 %

2 - Paramètres d'entrée : Position de caméra

- **Elévation (φ) et azimut (θ)**
- Coordonnées sphériques (r, θ, φ), r fixé
- origine repère : centre terrain

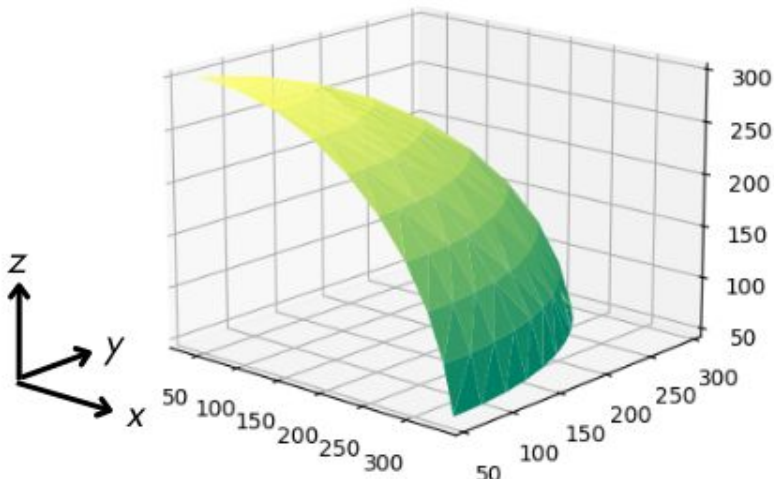


Positionnement d'une caméra dans l'espace

Dans la suite : étude des positions sur 1/4 du terrain (symétries)

III. PERFORMANCES DU SYSTÈME RÉEL A. ALGORITHME

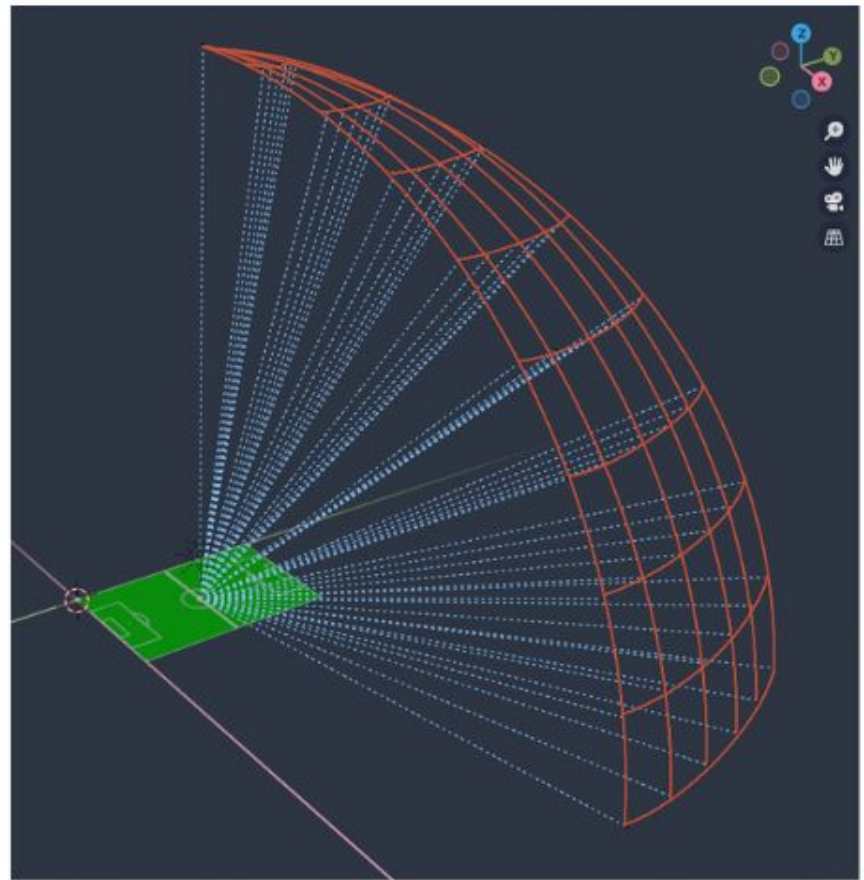
2 - Paramètres d'entrée : Position de caméra



Représentation visuelle des coordonnées générées sur Python ($r=300m$)



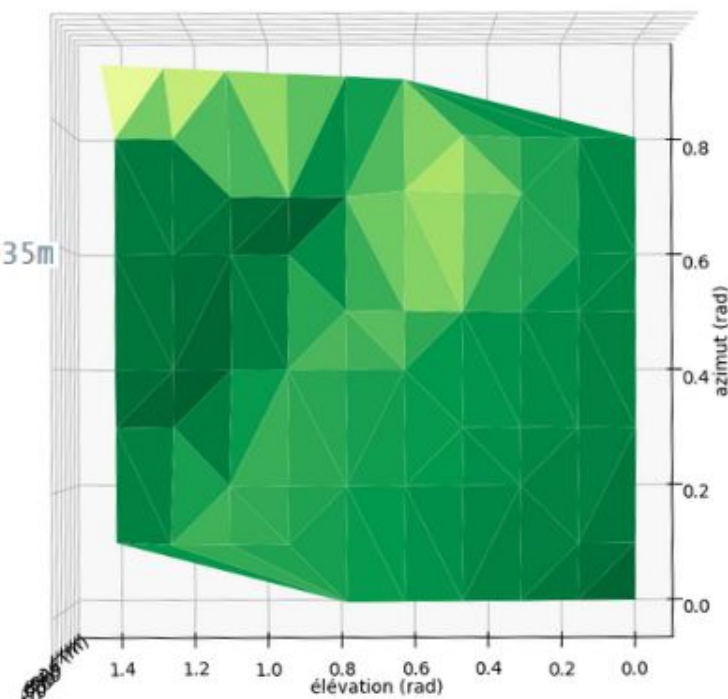
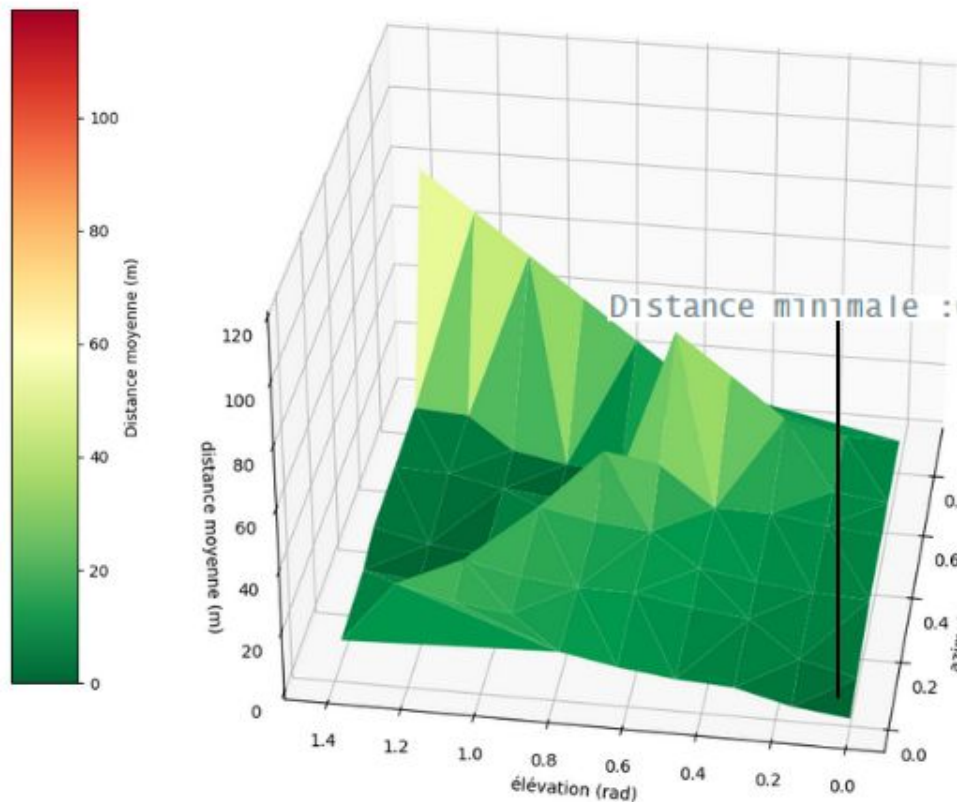
Exemple d'image générée



Interface Blender – 60 caméras placées aux coordonnées générées

III. PERFORMANCES DU SYSTÈME RÉEL A. ALGORITHME

2 - Paramètres d'entrée : Position de caméra

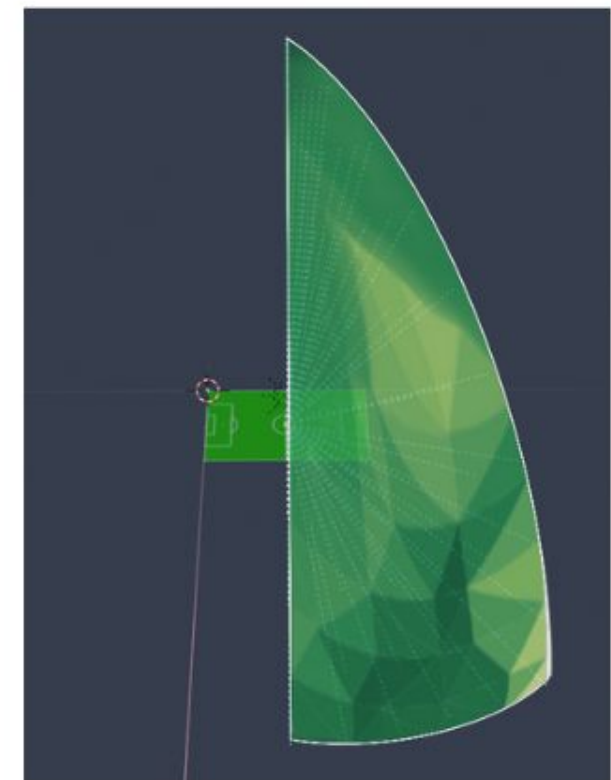
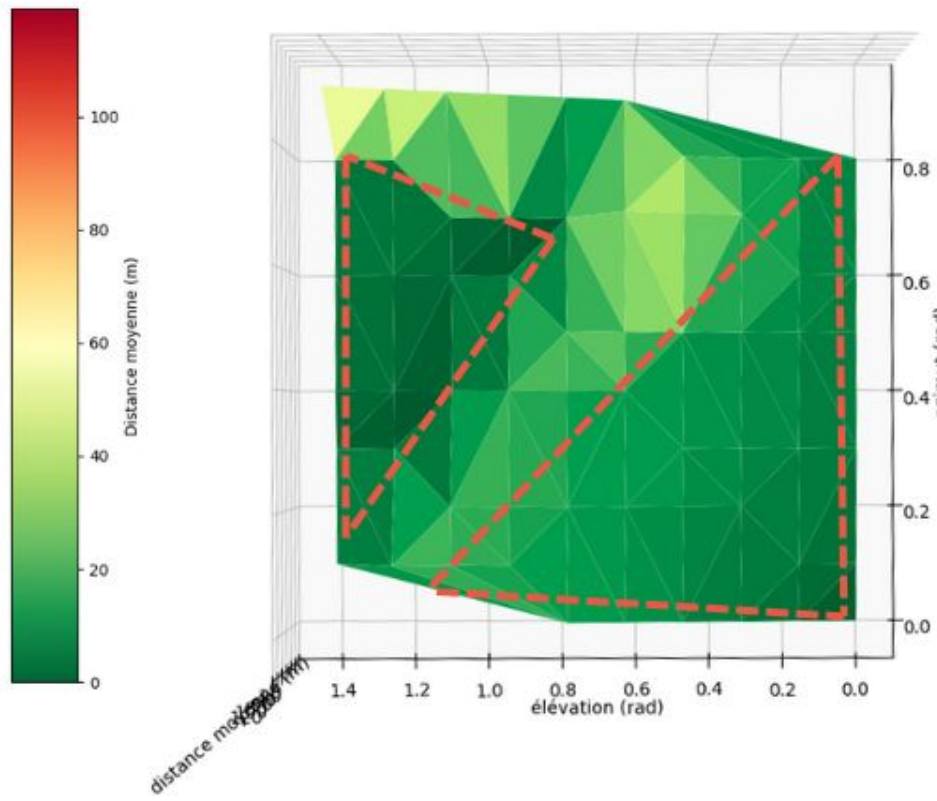


Distance moyenne positions calculée / réelle en fonction de l'azimut et l'élévation de la caméra

60 caméras, moyenne sur 9 positions de balle

III. PERFORMANCES DU SYSTÈME RÉEL A. ALGORITHME

2 - Paramètres d'entrée : Position de caméra



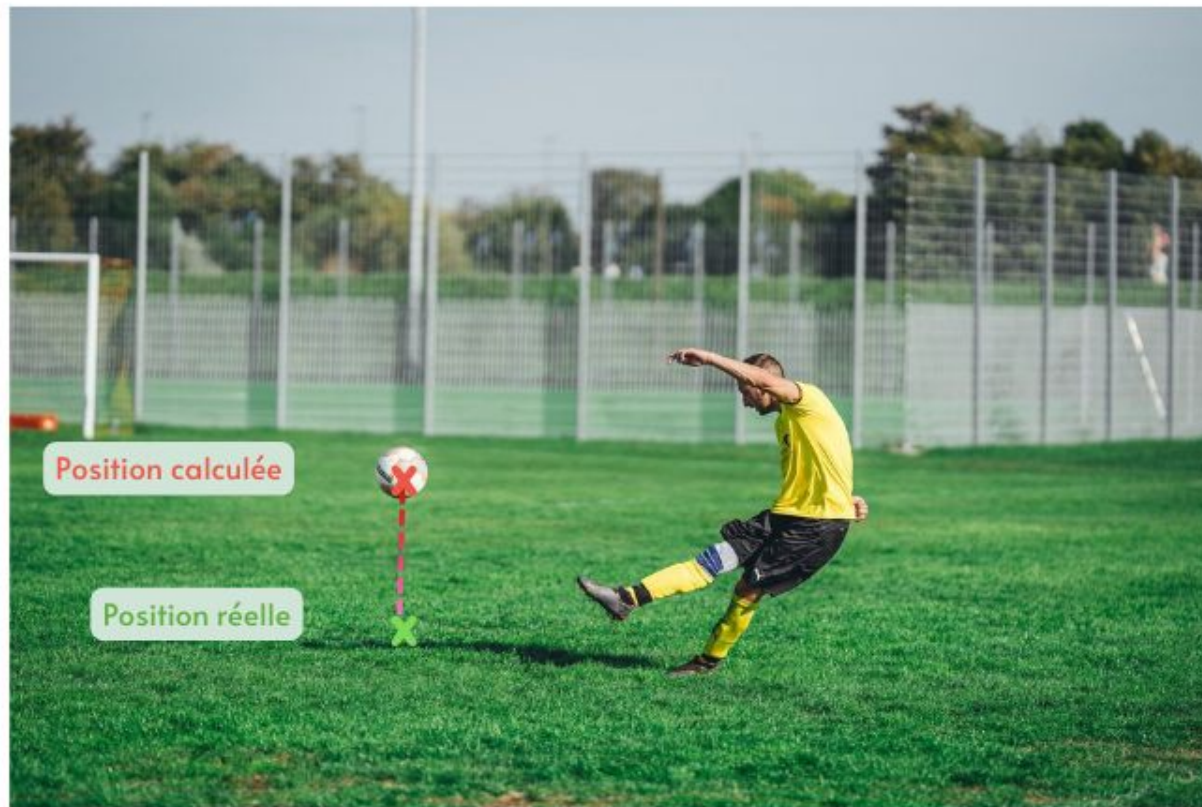
Distance moyenne positions calculée / réelle en fonction de l'azimut et l'élévation de la caméra

$\varphi, \theta \rightarrow 0,0$ ou $\varphi \rightarrow 90^\circ$

III. PERFORMANCES DU SYSTÈME RÉEL

A. ALGORITHME

3 - Hypothèse : “Balle au sol“



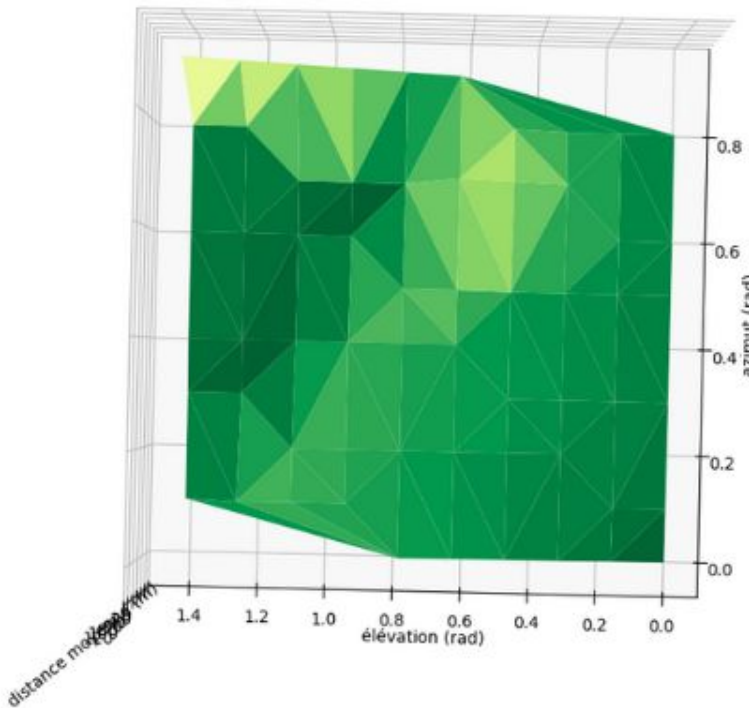
Erreur liée à la hauteur de la balle et le positionnement de la caméra
© Open Goal USA

III. PERFORMANCES DU SYSTÈME RÉEL

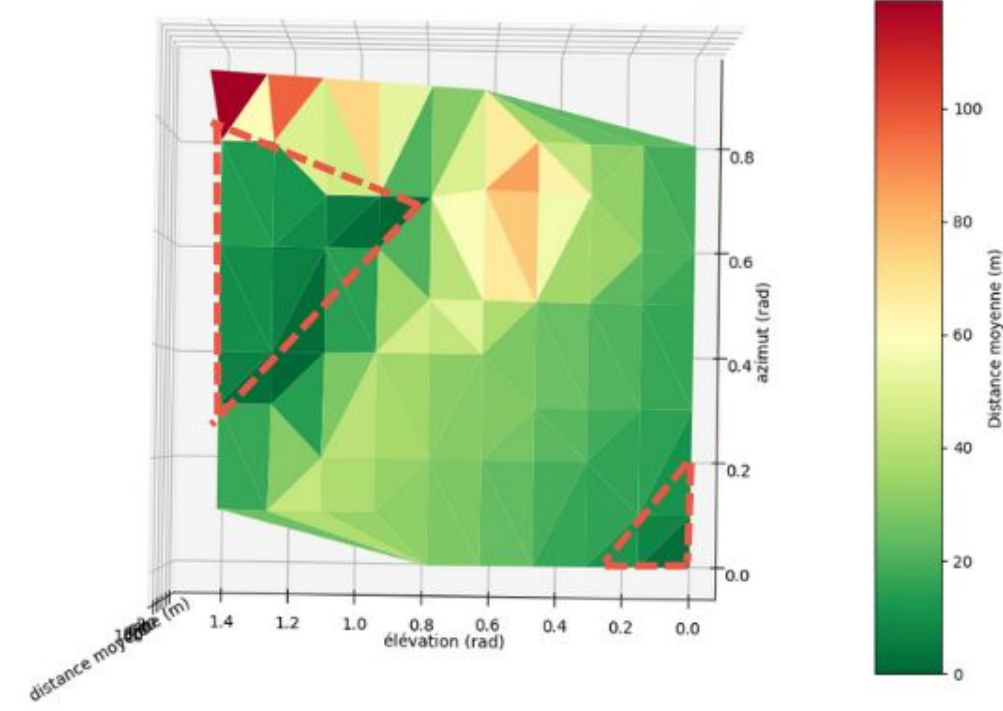
A. ALGORITHME

3 - Hypothèse : “Balle au sol“

Balle au sol



Hauteur balle variable

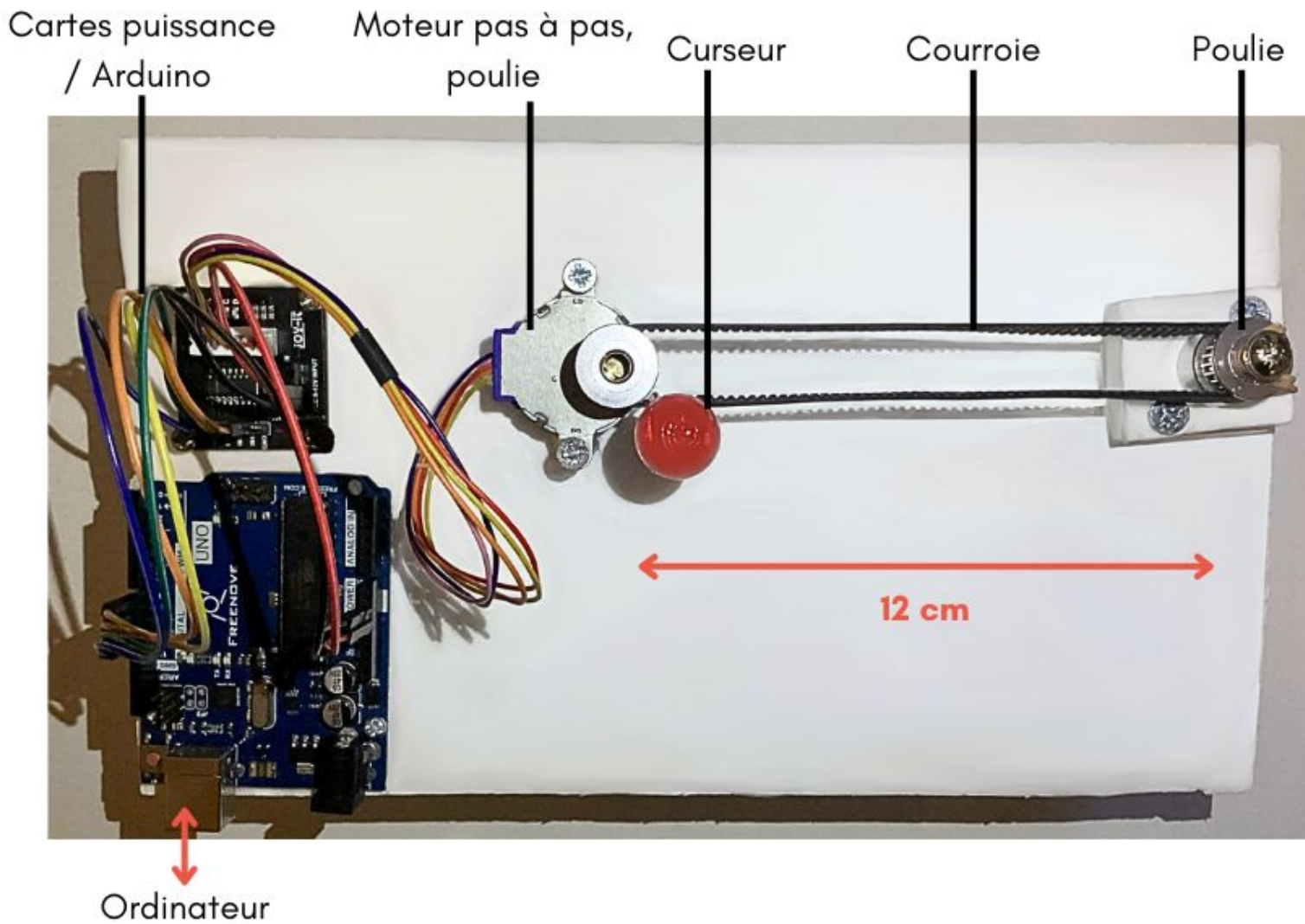


Comparaison : distances moyennes en fonction de l'azimut et l'élévation de la caméra

Hypothèse non nécessaire à certaines positions de caméra

III. PERFORMANCES DU SYSTÈME RÉEL

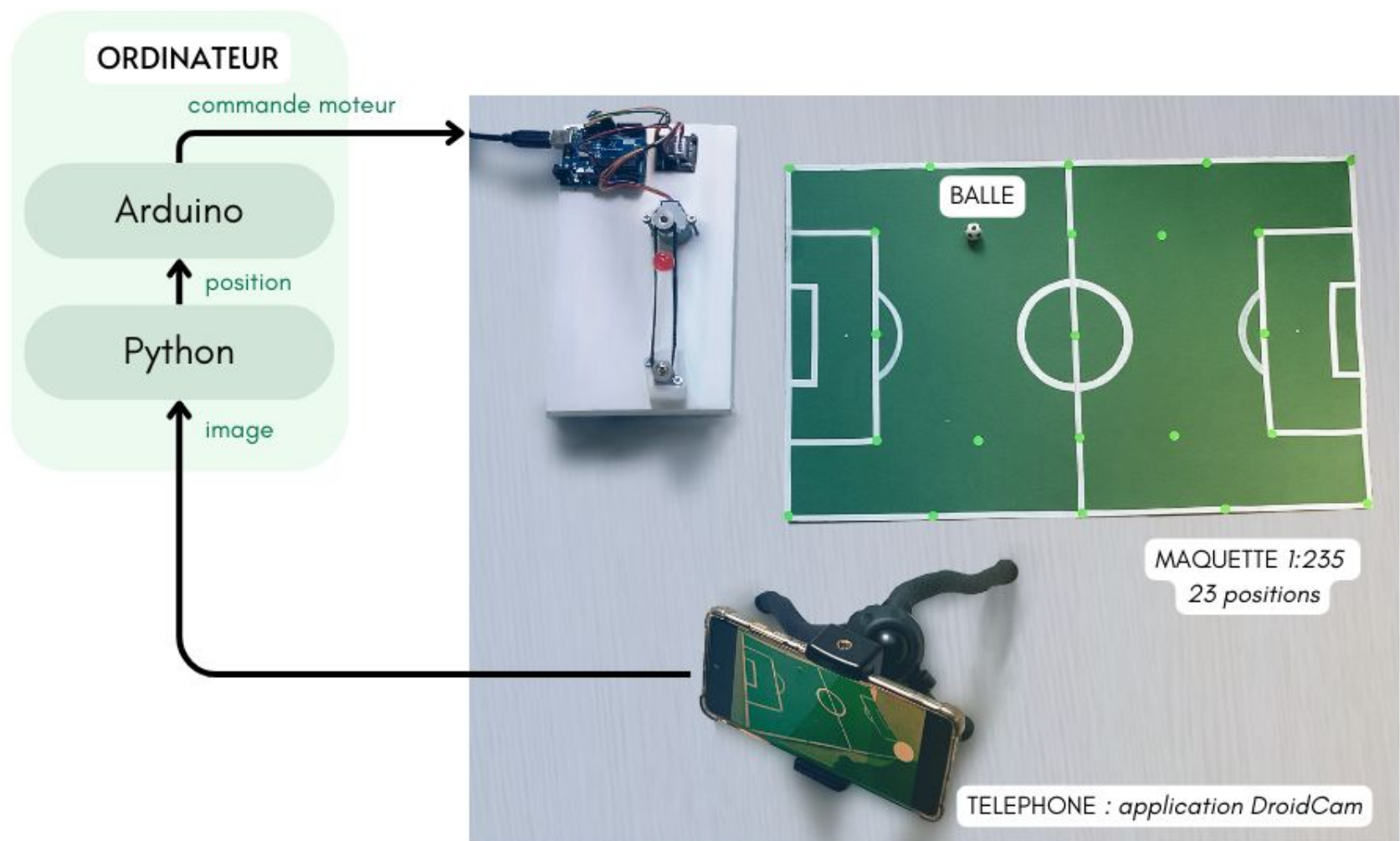
B. SYSTÈME MÉCANIQUE



Montage poulie-courroie

III. PERFORMANCES DU SYSTÈME RÉEL B. SYSTÈME MÉCANIQUE

I - Précision (système entier)



Expérience de pointage

III. PERFORMANCES DU SYSTÈME RÉEL B. SYSTÈME MÉCANIQUE

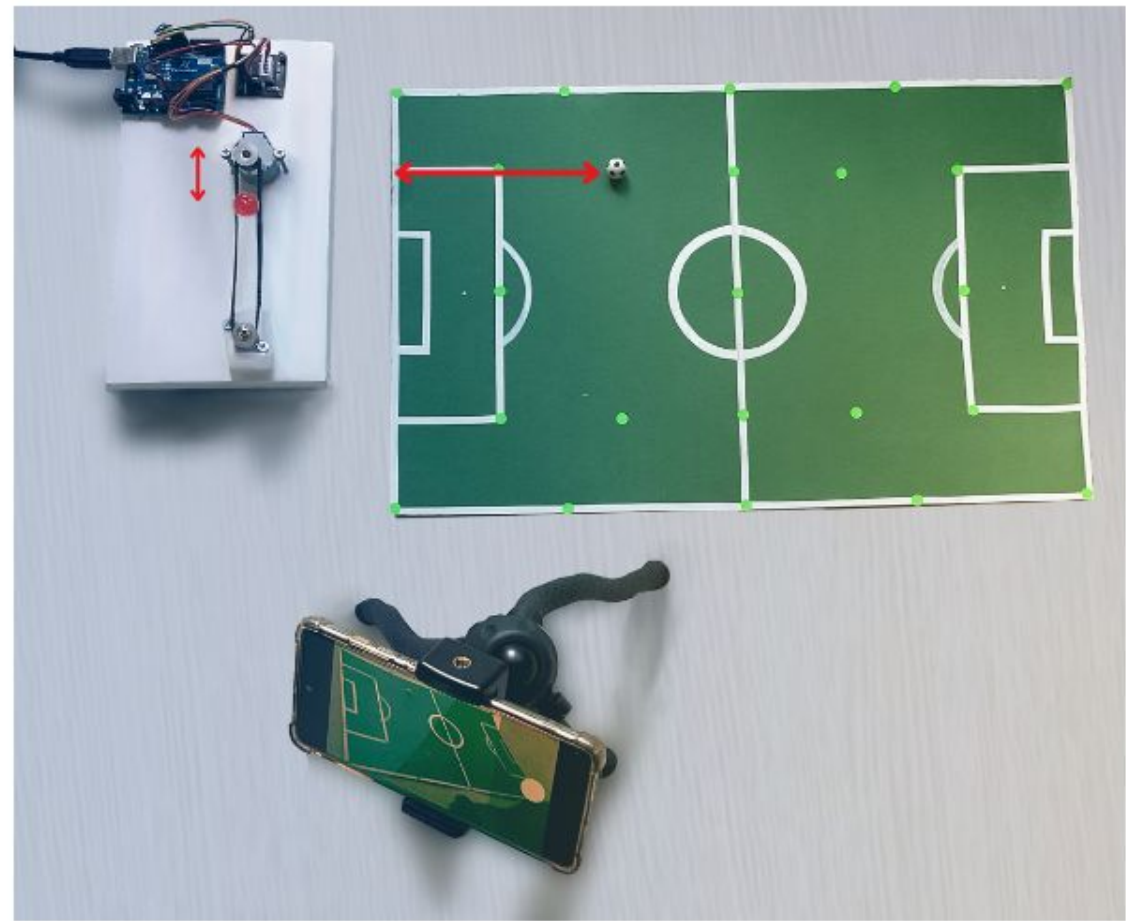
I - Précision

Erreur moyenne :

$$\mathbf{e = 1.6 \pm 0.5 \text{ cm}}$$

Sources :

- Algorithme
- Poulie-courroie
- Mesures



III. PERFORMANCES DU SYSTÈME RÉEL

B. SYSTÈME MÉCANIQUE

II - Rapidité : Vitesse

Arduino : rotation
vitesse variable
>Vitesse max
→ arrêt

Résultats :

$$\omega_{\max} = 31844 \text{ pas/min}$$

$$\begin{aligned}\omega_{\max} &\approx 15,5 \text{ tour/min} && (2048 \text{ pas/tour}) \\ &\approx 1.62 \text{ rad/s}\end{aligned}$$

Or $V_{balleMax} = \frac{\omega_{rot} \times r}{k}$

$$V_{balleMax} = 31.2 kmh^{-1}$$

III. PERFORMANCES DU SYSTÈME RÉEL

B. SYSTÈME MÉCANIQUE

II - Rapidité : Vitesse

$$V_{balleMax} = 31.2 \text{ kmh}^{-1}$$

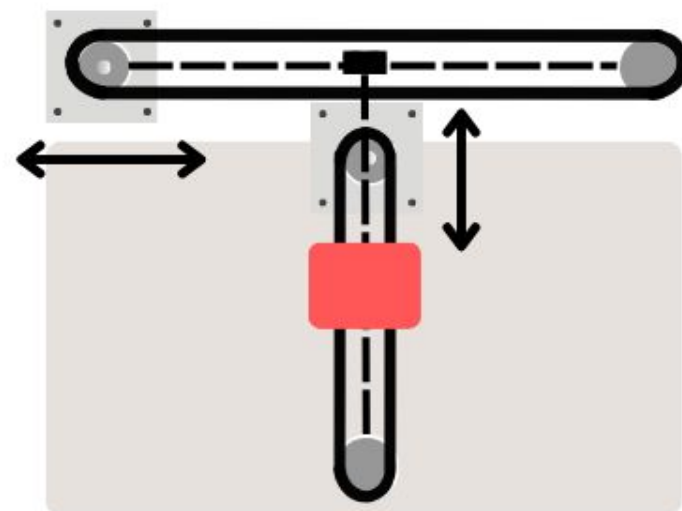
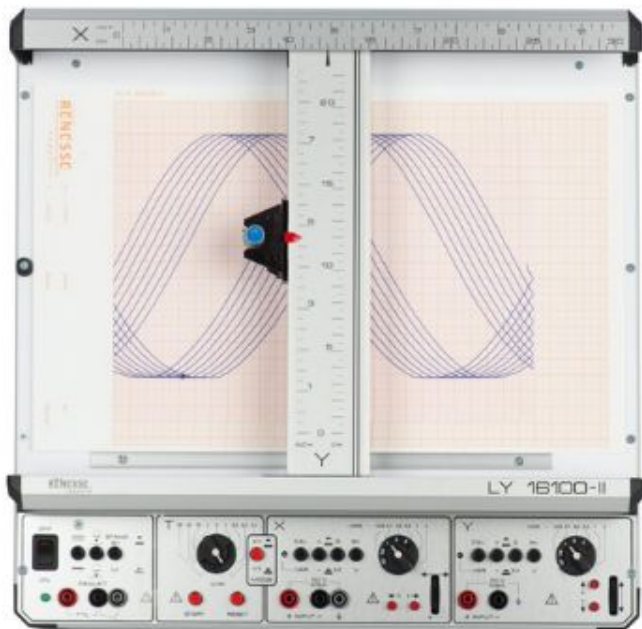
Résultat insuffisant :

$$V_{balleMoy} = 85 \text{ kmh}^{-1}$$

Solutions :

- Système plus petit
- Moteur plus performant (ex NEMA17)

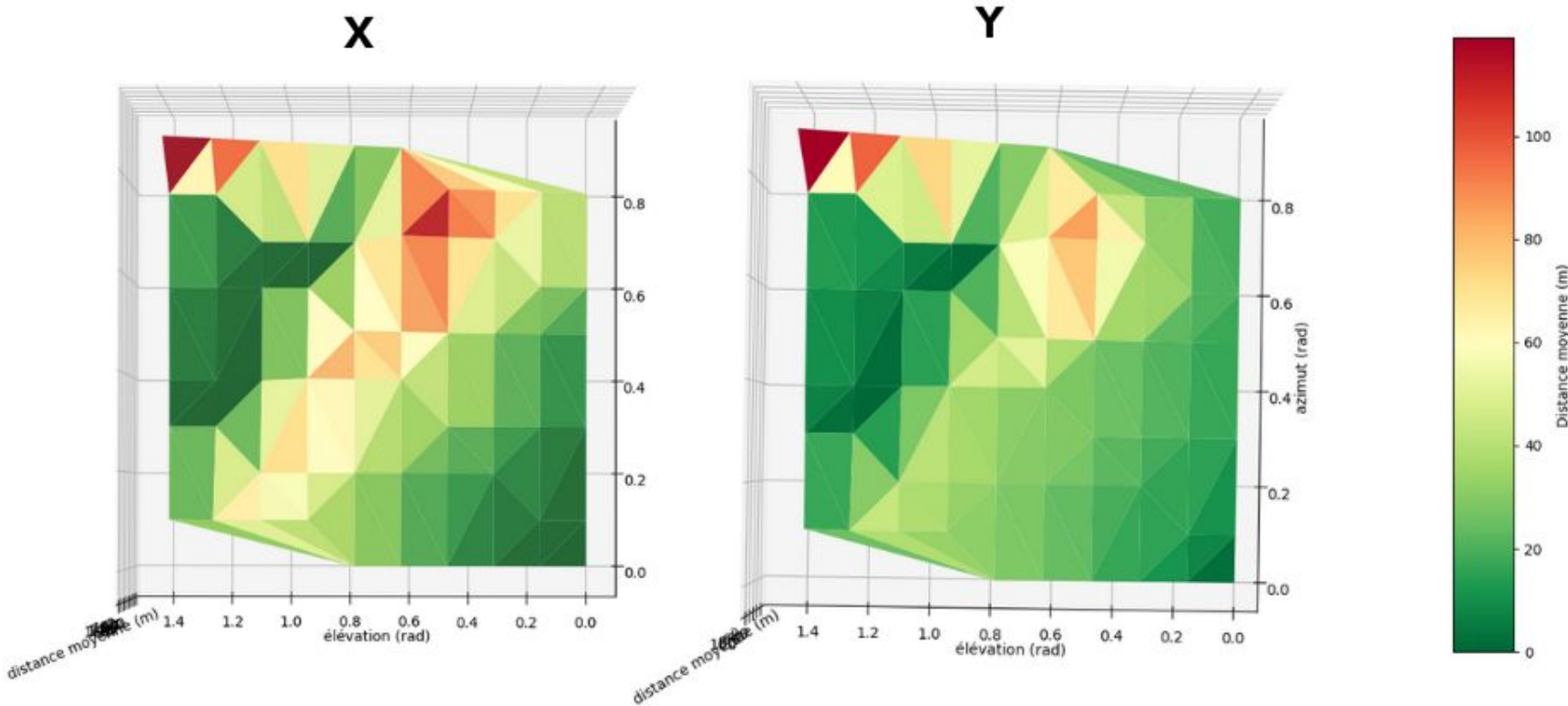
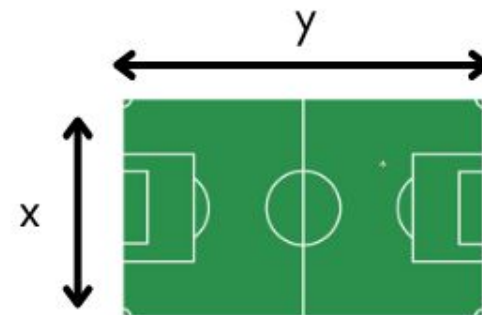
Transmettre un mouvement 2D



Principe d'une table traçante
photo : © kp8.fr

III. PERFORMANCES DU SYSTÈME RÉEL C. EXTENSION DU PROJET

Limite de l'algorithme à une caméra



Distance moyenne en fonction de l'azimut et l'élévation de la caméra

IV. CONCLUSION

	Modèle IA	Résolution (entrée)	Position caméra	Améliorations
Rapidité	/	⊖ vidéo < 5 fps	/	Moteur plus performant
Précision	35 epoch	⊕	$\theta, \varphi \rightarrow 0^\circ, 0^\circ$ $\varphi \rightarrow 90^\circ$	2+ caméras (stéréovision)
Stabilité	/	/	/	/

ANNEXE

P. 34 Algorithmes

P. 46 Principe de l'algorithme

- Filtrage du bruit - seuillage
- Détection de contours
- Approximation contours
- Détection de coins
- Calcul d'une matrice de projection

P. 52 Réseau de neurones

- Principe
- Entraînement du modèle utilisé
- Evaluation de la précision

P. 55 Electronique

- Montage
- Moteur pas à pas

P. 57 Stéréovision

P. 58 Complexité

P. 59 Bibliographie

ALGORITHMES- PYTHON BOUCLE PRINCIPALE

```
1 # Modules et données
2
3 import cv2
4 import numpy as np
5
6 # Modèle de détection
7 from inference.models.utils import get_roboflow_model
8 model_name = "balles-de-football"
9 model_version = "1"
10 model = get_roboflow_model(model_id="{}{}".format(model_name, model_version), api_key="WuPJ2uBzqVxnodwmTxCu")
11
12 # Accès à la caméra
13 video = cv2.VideoCapture(0)
14 assert video.isOpened(), "image inaccessible"
15
16
17 # Segment de couleur
18 vert1 = np.array([0, 0, 100])
19 vert2 = np.array([100, 255, 255])
20
21
22 # Coordonnées des points pour la projection
23 destination = np.array([(0, 0), (0, 119), (75, 0), (75, 119)], dtype=np.float32)
24
25 # Données pour la détection du terrain
26 nb_coins = 4
27 qualité = 0.1
28 aire_min = 100000
29
30 # Connexion avec Arduino
31
32 import serial
33 arduino = serial.Serial(port='COM3', baudrate=115200, timeout=.1)
34
35 def envoi_coordonnee(x):
36     arduino.write(bytes(x, 'utf-8'))
37
38
39 ## Boucle principale : vraie tant qu'il y a une image en entrée; jusqu'à Echap
40
41 while True and cv2.waitKey(1) != 27 :
42
43     # Lecture de chaque image de la vidéo
44     ret, frame = video.read()
45     if not ret:
46         break
47
48     # 1er filtre : segmentation par couleur
49     hsv = cv2.cvtColor(frame, cv2.COLOR_BGR2HSV)
50     masque = cv2.inRange(hsv, vert1, vert2)
51     img_masque = cv2.bitwise_and(frame, frame, mask=masque)
52
53     # 2eme filtre : bruit
54     img_gris = cv2.cvtColor(img_masque, cv2.COLOR_BGR2GRAY)
55     noyau = np.ones((10, 10), np.uint8) # - matrice de convolution
```

ALGORITHMES- PYTHON

```
56 seuil = cv2.threshold(img_gris, 127, 255, cv2.THRESH_BINARY_INV | cv2.THRESH_OTSU)[1]
57 seuil = cv2.morphologyEx(seuil, cv2.MORPH_CLOSE, noyau) #dilatation - erosion (fonction "closing")
58
59
60 #Recherche TERRAIN
61
62 # Image binarisée des contours (algorithme Canny)
63 bords = cv2.Canny(seuil, 100, 200)
64
65 # Listes des vecteurs et des hierarchies (liens parents-enfants) des contours dessinés
66 # Vecteur = liste de points (x,y)
67 contours, hierarchie = cv2.findContours(bords, cv2.RETR_EXTERNAL, cv2.CHAIN_APPROX_SIMPLE)
68
69 c = []
70
71 for contour in contours:
72     approx = cv2.approxPolyDP(contour, 3, True) #lissage du contour (algorithme Ramer Douglas Peucker)
73     rectangle = cv2.boundingRect(approx) #cadre rectangulaire autour du contour -> approximation aire (=> filtre de taille)
74     L,h = rectangle [2], rectangle [3]
75     aire = L * h
76
77 if aire > aire_min:
78
79     enveloppe = cv2.convexHull(contour) #enveloppe convexe : plus petite enveloppe contenant tous les points du contour
80     cv2.polylines(frame, [enveloppe], True, (0, 0, 255), 2) #tracé de l'enveloppe
81
82     hauteur, largeur = bords.shape[:2]
83     enveloppe_img = np.zeros((hauteur, largeur), dtype=np.uint8)
84     cv2.drawContours(enveloppe_img, [enveloppe], 0, 255, 2) #tracé de l'enveloppe convexe
85
86 # détection des coins (algorithme Shi Tomasi)
87 distance_min = int(max(hauteur, largeur) / nb_coins)
88 coins = cv2.goodFeaturesToTrack(enveloppe_img, nb_coins, qualite, distance_min)
89 coins = np.intp(coins)
90
91 for coin in coins:
92     x, y = coin.ravel()
93     c.append((x, y))
94
95
```

ALGORITHMES- PYTHON

```

96
97
98
99
100
101
102
103
104
105
106
107
108
109
110
111
112
113
114
115
116
117
118
119
120
121
122
123
124
125
126
127
128
129
130
131
132
133
134
135
136
137
138
139
140
141
142
if len(c) == nb_coins: #=4
    #tri des points d'intérêt par y croissants puis x croissants par paires (correspondance pour projection)
    coins_tril = sorted(c, key = lambda x: x[0])
    coins = sorted(coins_tril[:2], key = lambda x: x[1]) + sorted(coins_tril[2:4], key=lambda x: x[1])

    # PROJECTION
    source = np.array(coins,dtype=np.float32)
    # calcul de la matrice de projection H (3x3)
    H, _ = cv2.findHomography(source, destination)

    #DETECTION BALLE
    results = model.infer(frame) #renvoie predictions 'confiance' décroissante -> premier set de coordonnées. Je suppose qu'il y a toujours une prédiction tant que la projection est possible
    #(indication dépend de structure résultat)
    r = str(results[0])
    r2 = r.split(" ")
    coord = str(r2[5:9])
    xywh = coord[39:-1]
    coo_boite = xywh.split(',')
    x = float(coo_boite[0][2:])
    y = float(coo_boite[1][2:])
    w = float(coo_boite[2][6:])
    h = float(coo_boite[3][7:])

    coo_balle_img = np.array([x + w / 2, y + h, 1])
    coo_balle = np.dot(H, coo_balle_img)

    #ENVOI A ARDUINO
    envoi_coordonnee(coo_balle[0])
    return coo_balle[0]
# aucune coordonnée renournée si projection a échoué

# fermeture des fenetres
video.release()
cv2.destroyAllWindows()

```

ALGORITHMES- PYTHON RÉSOLUTION

```

1 ## Modules et données
2
3 import matplotlib.pyplot as plt
4 import cv2
5 import time
6 import numpy as np
7
8 #Modèle de détection
9 from inference.models.utils import get_roboflow_model
10 model_name = "balles-de-football"
11 model_version = "1"
12 model = get_roboflow_model(model_id="{}{}".format(model_name, model_version), api_key="WuPJ2uBzqVxnodwmTxCu")
13
14
15 # Segment de couleur
16 vert1 = np.array([0, 0, 100])
17 vert2 = np.array([100, 255, 255])
18
19 # Coordonnées des points pour la projection
20 destination = np.array([(0, 0), (0, 119), (75, 0), (75, 119)], dtype=np.float32)
21
22 # Données pour la détection des coins
23 nb_coins = 4
24 qualite = 0.1
25 aire_min = 100000
26
27 pas_de_detection = 0
28
29 ## Programmes
30
31 #génération des chemins de chaque dossier contenu dans le dossier principal à partir de la liste de leur noms
32 def nom_dossier(chemin, ldossiers):
33     return [chemin + str(dossier) for dossier in ldossiers]
34
35 #reprise de l'algorithme principal
36 def position_x(cimg):
37
38     global pas_de_detection
39     pas_de_detection = 0
40
41     frame=plt.imread(cimg)
42
43     # 1er filtre : segmentation par couleur
44     hsv = cv2.cvtColor(frame, cv2.COLOR_BGR2HSV)
45     masque = cv2.inRange(hsv, vert1, vert2)
46     img_masque = cv2.bitwise_and(frame, frame, mask=masque)
47
48     # 2eme filtre : bruit
49     img_gris = cv2.cvtColor(img_masque, cv2.COLOR_BGR2GRAY)
50     noyau = np.ones((10, 10), np.uint8) # - matrice de convolution
51     seuil = cv2.threshold(img_gris, 127, 255, cv2.THRESH_BINARY_INV | cv2.THRESH_OTSU)[1]
52     seuil = cv2.morphologyEx(seuil, cv2.MORPH_CLOSE, noyau)#dilatation - erosion (fonction "closing")
53

```

ALGORITHMES- PYTHON

```

54
55 #Recherche TERRAIN
56
57 # Image binarisée des contours (algorithme Canny)
58 bords = cv2.Canny(seuil, 100, 200)
59
60 # Listes des vecteurs et des hierarchies (liens parents-enfants) des contours dessinés
61 # Vecteur = liste de points (x,y)
62 contours, hierarchie = cv2.findContours(bords, cv2.RETR_EXTERNAL, cv2.CHAIN_APPROX_SIMPLE)
63
64 c = []
65
66 for contour in contours:
67     approx = cv2.approxPolyDP(contour, 3, True) #lissage du contour (algorithme Ramer Douglas Peucker)
68     rectangle = cv2.boundingRect(approx) #cadre rectangulaire autour du contour -> approximation aire (-> filtre de taille)
69     L,h = rectangle [2], rectangle [3]
70     aire = L * h
71
72     if aire > aire_min:
73
74         enveloppe = cv2.convexHull(contour) #enveloppe convexe : plus petite enveloppe contenant tous les points du contour
75         cv2.polylines(frame, [enveloppe], True, (0, 0, 255), 2) #tracé de l'enveloppe
76
77         hauteur, largeur = bords.shape[:2]
78         enveloppe_img = np.zeros((hauteur, largeur), dtype=np.uint8)
79         cv2.drawContours(enveloppe_img, [enveloppe], 0, 255, 2) #tracé de l'enveloppe convexe
80
81 # détection des coins (algorithme Shi Tomasi)
82 distance_min = int(max(hauteur, largeur) / nb_coins)
83 coins = cv2.goodFeaturesToTrack(enveloppe_img, nb_coins, qualité, distance_min)
84 coins = np.intp(coins)
85
86 for coin in coins:
87     x, y = coin.ravel()
88     c.append((x, y))
89
90 if len(c) == nb_coins: #=4
91
92     #tri des points d'intérêt par y croissants puis x croissants par paires (correspondance pour projection)
93     coins_tril = sorted(c, key = lambda x: x[0])
94
95     coins = sorted(coins_tril[:2], key = lambda x: x[1]) + sorted(coins_tril[2:4], key = lambda x: x[1])
96
97

```

ALGORITHMES- PYTHON

```

98
99     # PROJECTION
100
101    source = np.array(coins,dtype=np.float32)
102    # calcul de la matrice de projection H (3x3)
103    H, _ = cv2.findHomography(source, destination)
104
105    results = model.infer(cimg) #renvoie predictions 'confiance' décroissante -> premier set de coordonnées. Je suppose qu'
a toujours une prédiction tant que la projection est possible
106
107    #(indication dépend de structure résultat)
108    r = str(results[0])
109    r2 = r.split(" ")
110
111    coord = str(r2[5:9])
112
113    xywh = coord[39:-1]
114    coo_boite = xywh.split(',')
115    x = float(coo_boite[0][2:])
116    y = float(coo_boite[1][2:])
117    w = float(coo_boite[2][6:])
118    h = float(coo_boite[3][7:])
119
120    coo_balle_img = np.array([x + w / 2, y + h, 1])
121
122    coo_balle = np.dot(H, coo_balle_img)
123
124    return coo_balle[0]
125    #return coo_balle[1] pour la coordonnée selon la largeur
126    pas_de_detection = 1
127
128
129 # mesure du temps de calcul d'une position dans une image
130 def tps_position(cimg):
131     t0 = time.time()
132     position_x(cimg)
133     t = time.time()
134     return t - t0
135
136 # calcul de distance
137 def precision(cimg): #on ne traite pas le cas sans détection car dans ce cas fonction non appelée par moyenne_dossier (L.156)
138
139     n = len(cimg)
140     num_image = int(cimg[n-8:n-4])
141     for i in range(3):
142         if cimg[n-8+i] == '0':
143             num_image = int(cimg[n-8+i:n-4]) #permet de retrouver la coordonée attendue
144
145 #position calculée
146 x = position_x(cimg)
147
148 #position attendue, l'ordonnée de la balle reste la même pour 21 images
149 t = (num_image // 21) * 11.9
150
151 d = abs(x-t)
152 return d

```

ALGORITHMES- PYTHON

```

153
154
155 #calcul du temps de traitement et de la precision moyens à une résolution fixée
156 def moyenne_dossier(cdossier,frames):
157
158     tps = 0 #somme des durées de traitement
159     d = 0 #somme des distances
160     n = 0 #nombre d'images prises en compte dans la moyenne
161
162     for i in range(1,frames):
163
164         #noms de fichiers de la forme "000i","00ij","0ijk"...
165         cimg = cdossier + '\\\\' + (4 - len(str(int(i)))) * '0' + str(int(i)) + ".jpg"
166
167         x = position_x(cimg)
168
169         if pas_de_detection == 0:
170             tps += tps_position(cimg)
171             d += precision(cimg)
172             n += 1
173
174     if n != 0:
175         return tps/n,d/n
176     return 0,0
177
178
179
180 #tracé d'un graphe à deux ordonnées (erreur, rapidité) à abscisse commune (résolution)
181 def graphe RTP(x,y,z):
182
183     fig, axe1 = plt.subplots()
184     axe1.set_xlabel('Résolution (% par rapport à 1920x1080)')
185
186     axe1.set_ylabel('Temps de calcul (ms)', color='midnightblue')
187     axe1.plot(x, y, color='midnightblue')
188     axe1.tick_params(axis='y', labelcolor='midnightblue')
189
190     axe2 = axe1.twinx() # second d'axe d'ordonnées qui partage un même d'axe d'abscisses
191
192     axe2.set_ylabel('Distance positions calculée - réelle (m)', color='seagreen')
193     axe2.plot(x, z, color='seagreen')
194     axe2.tick_params(axis='y', labelcolor='seagreen')
195
196     fig.tight_layout()
197
198     plt.show()
199
200 #TESTS :
201 chemin_defaut = "F:\\TIPE_resolution\\"
202 resolutions = [40,60,80,100,120,140,160,180,200]# Résolution de référence : 1920x1080. 20=>20% de cette résolution, etc
203 nb_img = 230
204 chemins = nom_dossier(chemin_defaut,resolutions) # liste des chemins des dossier associés à diff. résolutions
205 graphe RTP(resolutions,moyenne_dossier(chemins,nb_img)[0],moyenne_dossier(chemins,nb_img)[1])
206
207

```

ALGORITHMES- PYTHON ERREUR POSITIONS CAMÉRA

```

125 def distance(cimg):
126
127     n = len(cimg)
128     num_image = int(cimg[n-5]) #numéro de l'image étudiée pour position balle théorique
129
130     x = position_x(cimg)
131
132     if pas_de_detection == 0:
133         positions_attendues={0:0,1:59.5,2:119,3:29.75,4:59.5,5:89.25,6:0,7:59.5,8:119} #positions clefs utilisées pour tests
134         #positions_attendues={0:0,1:0,2:0,3:37.5,4:37.5,5:37.5,6:75,7:75,8:75} selon largeur
135         t = positions_attendues[num_image]
136         d = abs (x-t)
137         return d
138     return 119 #on ne "favorise" pas les positions qui ne détectent pas de terrain : distance max sur un terrain
139
140
141 def distance_moyenne_dossier(cdossier,frames,nb_position_cam):
142
143     l_distance = []
144     for i in range(1,nb_position_cam):
145
146         d = 0
147
148         for j in range(frames):
149
150             cimg = cdossier + (3 - len(str(i))) * '0'+ str(i) + '\\\\050' + str(int(j)) + ".jpg"
151             d += distance(cimg)
152             l_distance.append(d/frames)
153
154     return l_distance
155
156 ##Tracé graphe
157 x = [i/10 for i in range(10) for j in range(6)] #positionnement de la caméra à partir du numéro de dossier : azimut
158 y = [int(str(no_dossier)[-1])*pi/20 for no_dossier in range(60)] #élévation
159 z = distance_moyenne_dossier("F:\\TIPE_camera_pos\\",9,61)
160
161 fig = plt.figure()
162 ax = fig.add_subplot(projection='3d')
163
164 norme = Normalize(vmin=0, vmax=119)
165
166 triang = ax.plot_trisurf(x, y, z, cmap='RdYlGn_r', norm=norme)
167
168 ax.set_title("Distance moyenne entre les positions théoriques et issues du calcul en fonction de l'azimut et de l'élévation de la caméra")
169 ax.set_xlabel('azimut (rad)')
170 ax.set_ylabel('élévation (rad)')
171 ax.set_zlabel('distance moyenne (m)')
172
173 cbar = fig.colorbar(triang, ax=ax, shrink=0.8, aspect=10)
174 cbar.set_label('Distance moyenne (m)')
175
176 plt.show()
177 print("Distance minimale :"+str(round(min(z),3))+"m")

```

ALGORITHMES- PYTHON POSITION CAMÉRAS

```

1 #Génération de positions de caméras pour la simulation 3d -> conversion sphériques à cartésiennes
2
3 from math import sin, cos, pi
4 import matplotlib.pyplot as plt
5 import numpy as np
6
7 def coo_sph_cart(r,t,p): #r,theta,phi
8     x = 37.5 + r * sin(p) * cos(t) #centre du terrain situé en (37.5,59.5,0)
9     y = 59.5 + r * sin(p) * sin(t)
10    z = r * cos(p)
11    return round(x,1), round(y,1), round(z,1) #on arrondit à un chiffre après virgule
12
13 n = 10
14 p = 10
15
16 #on fixe r
17 r = 300
18
19 #theta,phi en radian pour cos, sin
20 theta = [j/p for j in range(p)] # angle max condition tri points : 1 rad
21 phi = [i*(pi/2)/n for i in range(n)] #détection impossible pour t=pi/2 (=au sol)
22
23 x=[]
24 y=[]
25 z=[]
26
27 for i in range(len(theta)) :
28     for j in range(len(phi)) :
29         x.append(coo_sph_cart(r,theta[i],phi[j])[0])
30         y.append(coo_sph_cart(r,theta[i],phi[j])[1])
31         z.append(coo_sph_cart(r,theta[i],phi[j])[2])
32
33 #Représentation graphique
34
35 fig = plt.figure()
36
37 ax = plt.axes(projection='3d')
38
39 surf = ax.plot_trisurf(np.array(x), np.array(y), np.array(z), linewidth=0, antialiased=True, cmap='summer')
40 ax.set_title('Représentation visuelle des coordonnées générées')
41 plt.show()
42

```

ALGORITHMES- ARDUINO BOUCLE PRINCIPALE

```
1 #include <Stepper.h>
2 // constantes : 'const int' -> lecture uniquement (valeur non modifiable dans la boucle)
3 const int pi = 3.14159;
4 const int r = 0,005;           // rayon de la poulie (m)
5 const int k = 0.00101;         // coefficient proportionnalité terrain -> courroie
6 const int nbPasTour = 2048;
7 const int a = 2 * pi / nbPasTour; // angle d'un pas (rad)
8 const int wmax = 15.54;        // vitesse de rotation maximale (tour/min), déterminée dans le test de précision
9
10 int xi = 0;                // initialisation position initiale
11 int xf;
12
13 int w;                     // vitesse de rotation
14
15 int Ti=0;                  // initialisation instant initial
16 int Tf;                    // intervalle de temps, Tf-Ti défini dans boucle. théoriquement : dt = 1/fps
17 int dt;                    // intervalle de temps, Tf-Ti défini dans boucle. théoriquement : dt = 1/fps
18
19 int N;                     // nombre de pas à réaliser pour une coordonnée, calculé dans la boucle
20 int PasTot = 0;             // = - nb pas à réaliser pour revenir à la position initiale (ou position actuelle en pas)
21
22 Stepper Moteur(nbPasTour,8,9,10,11);
23
24 void setup() {
25     Serial.begin(115200);
26     Serial.setTimeout(1);
27 }
28
```

ALGORITHMES- ARDUINO

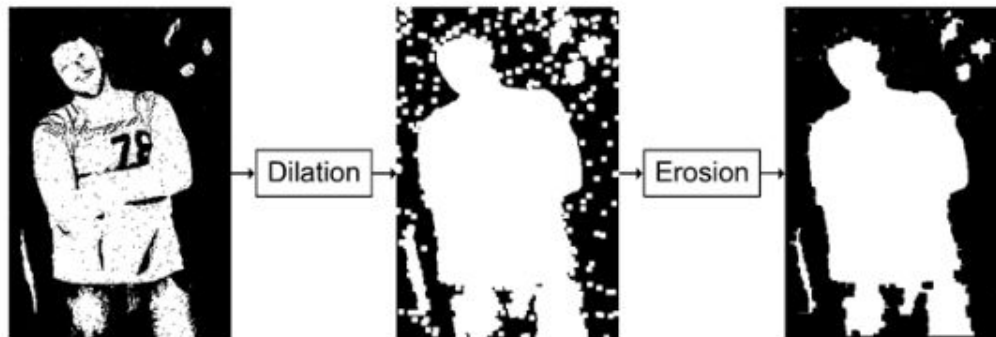
```
29 void loop() {  
30     while(! Serial.available()) {  
31  
32         Serial.setTimeout(1000);  
33  
34         xf = Serial.readString().toInt();  
35         Tf = millis()*0.001;          // ms -> s  
36         dt = Tf-Ti;  
37  
38         if(xf < 120 && xf>=0){      //longueur terrain = 119m  
39             w = k*(xf-xi)/(r*dt);    //vitesse  
40             if(w<wmax){  
41                 Moteur.setSpeed(w);  
42                 N = k * (xf-xi) / (r * a); //nombre pas à faire  
43                 Moteur.step(N);  
44             }  
45             else{  
46                 Moteur.setSpeed(wmax);  
47                 N = k * (xf-xi) / (r * a);  
48                 Moteur.step(N);  
49             }  
50             PasTot+=N;  
51             xi=xf;  
52             Ti=Tf;  
53         }  
54     }  
55  
56     //retour à la position 0 si communication coupée et arrêt du programme Arduino  
57     Moteur.setSpeed(1)  
58     Moteur.step(-PasTot)  
59     break  
60 }  
61 }
```

ALGORITHMES- ARDUINO VITESSE MAX

```
1 //détermination de la vitesse de rotation max
2 #include <Stepper.h>
3
4 const int nbpastour = 1; //en réalité : 2048 pas / tour
5 int i = 0 ;
6 int w;
7
8 Stepper Moteur(nbpastour, 8, 9, 10, 11);
9
10 // void setup() {
11 //   Serial.begin(115200);
12 //   Serial.setTimeout(1);
13 }
14
15 // void loop() {
16 //   while(i<100000){
17 //     w = 20480+i; //en tour/min, ici 1 tour = 1 pas donc w en pas/min (+20480 pas car vitesse max > 10 tours / min)
18 //     Moteur.setSpeed(w);
19 //     Moteur.step(100); //en pas
20
21 //     Serial.print(i);
22 //     Serial.print() ;
23 //     i+=1;
24 //     delay(200);
25 //   }
26 }
27 }
28 }
```

PRINCIPE DE L'ALGORITHME - FILTRAGE DU BRUIT

Dilatation, érosion



Fonction closing
© Research infinite solutions

Binarisation de l'image (seuillage)

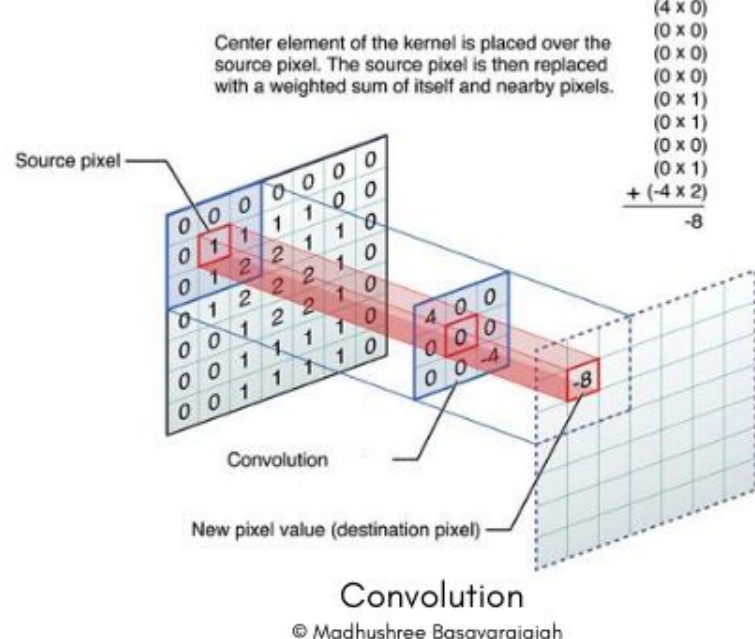
$$I_{ij} = \frac{(r + v + b)}{3} \quad \text{intensité du pixel } p(i,j) \quad - \text{ gris}$$

Nouvelle image $[p'(n,k)]$:

$$p'_{ij} = 255 \quad \text{si } I_{ij} \geq s \quad \text{seuil}$$

$$p'_{ij} = 0 \quad \text{sinon}$$

Convolution



PRINCIPE DE L'ALGORITHME - CONTOURS - FILTRE DE CANNY

1) Filtrage **anti-bruit**

2) Produit de **convolution** avec :

$$G_x = [-1 \quad 0 \quad 1] \quad ; \quad G_y = \begin{bmatrix} 1 \\ 0 \\ -1 \end{bmatrix}$$

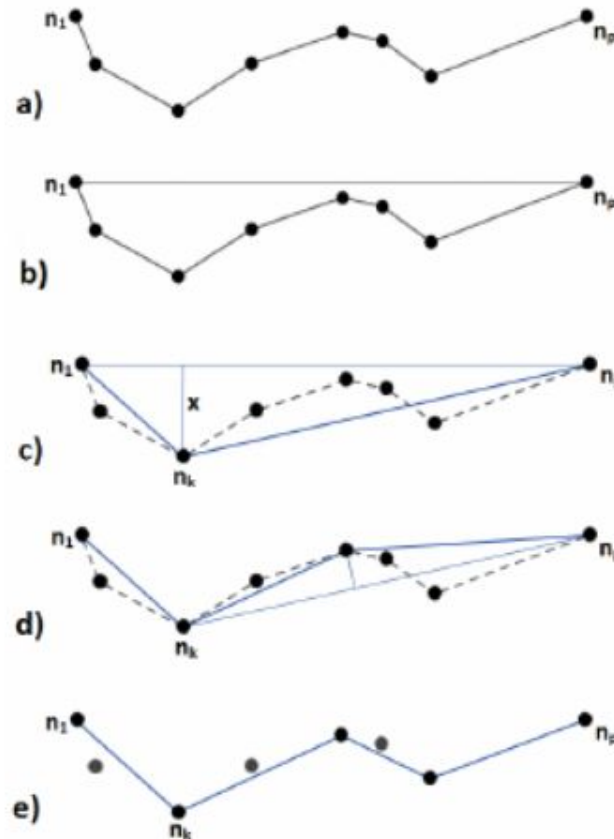
Gradient : vecteur de norme

$$|G| = \sqrt{G_x^2 + G_y^2}$$

+ => forte probabilité de présence d'un contour

3) Recherche de **maxima** locaux (seuillage)

Algorithme de Ramer Douglas Peucker

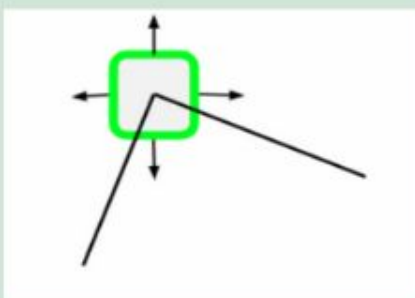


Ramer Douglas Peucker

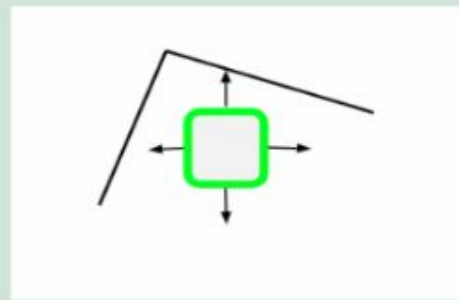
© Wojciech Mokrycki

PRINCIPE DE L'ALGORITHME - DÉTECTION DE COINS (SHI TOMASI)

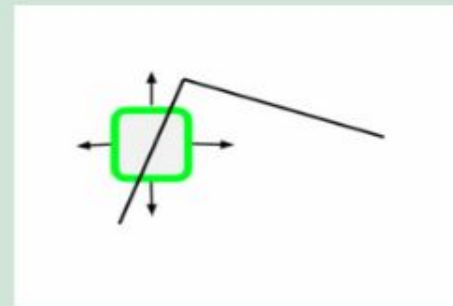
Balayage d'une "fenêtre"



Coin : changement d'apparence dans **2+ directions**



Zone plate



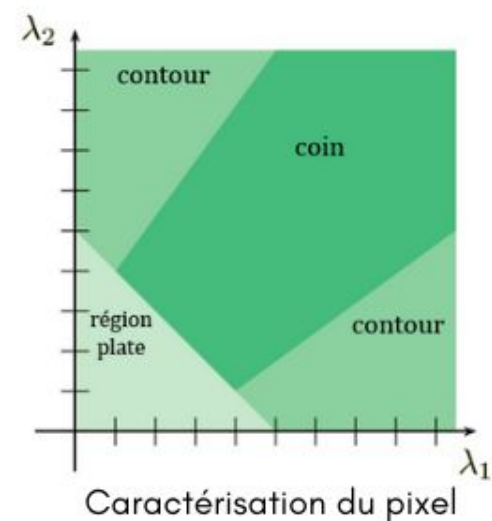
Bord : **selon 1 direction**

Recherche de coins

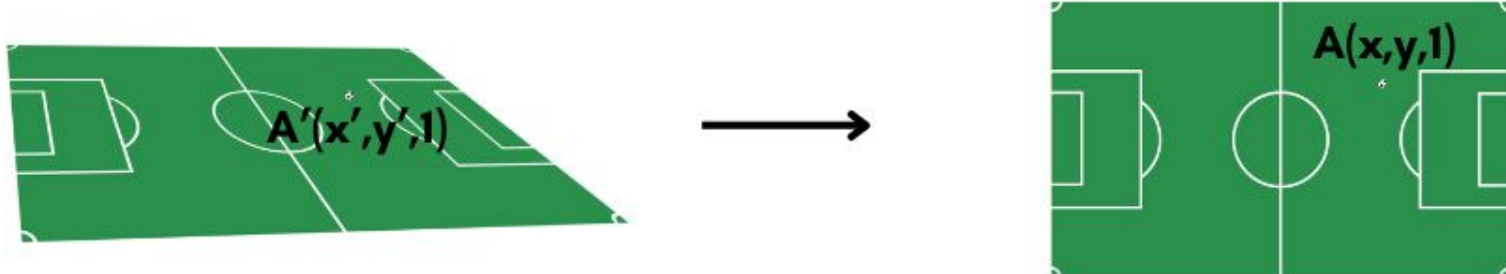
© Stacklima.com

- 1) **Gradient d'intensité** selon x et y
- 2) **Matrices de second moment**, M_{ij}
- 3) **Valeurs propres** de M_{ij} λ_1, λ_2 (-> courbure)

$$M_{ij} = \begin{bmatrix} I_x^2 & I_x I_y \\ I_x I_y & I_y^2 \end{bmatrix}$$



© Pascal Monasse

Transformation projective plane

Si A' et A se correspondent dans les deux plans, alors il existe H définie à un scalaire près telle que :

$$H \cdot A' = A \Leftrightarrow \begin{bmatrix} h_{11} & h_{12} & h_{13} \\ h_{21} & h_{22} & h_{23} \\ h_{31} & h_{32} & 1 \end{bmatrix} \begin{bmatrix} x' \\ y' \\ 1 \end{bmatrix} = \begin{bmatrix} x \\ y \\ 1 \end{bmatrix}$$

8 dd/

PRINCIPE DE L'ALGORITHME - MATRICE DE PROJECTION

$A'(x',y')$ et $A(x,y)$ se correspondent dans les deux plans

$$\begin{bmatrix} x \\ y \\ 1 \end{bmatrix} = \begin{bmatrix} h_{11} & h_{12} & h_{13} \\ h_{21} & h_{22} & h_{23} \\ h_{31} & h_{32} & 1 \end{bmatrix} \begin{bmatrix} x' \\ y' \\ 1 \end{bmatrix} = \begin{bmatrix} x'h_{11} + y'h_{12} + h_{13} \\ x'h_{21} + y'h_{22} + h_{23} \\ x'h_{31} + y'h_{32} + 1 \end{bmatrix}$$

$$\Rightarrow \begin{cases} x = \frac{x'h_{11} + y'h_{12} + h_{13}}{x'h_{31} + y'h_{32} + 1} \\ y = \frac{x'h_{21} + y'h_{22} + h_{23}}{x'h_{31} + y'h_{32} + 1} \end{cases}$$

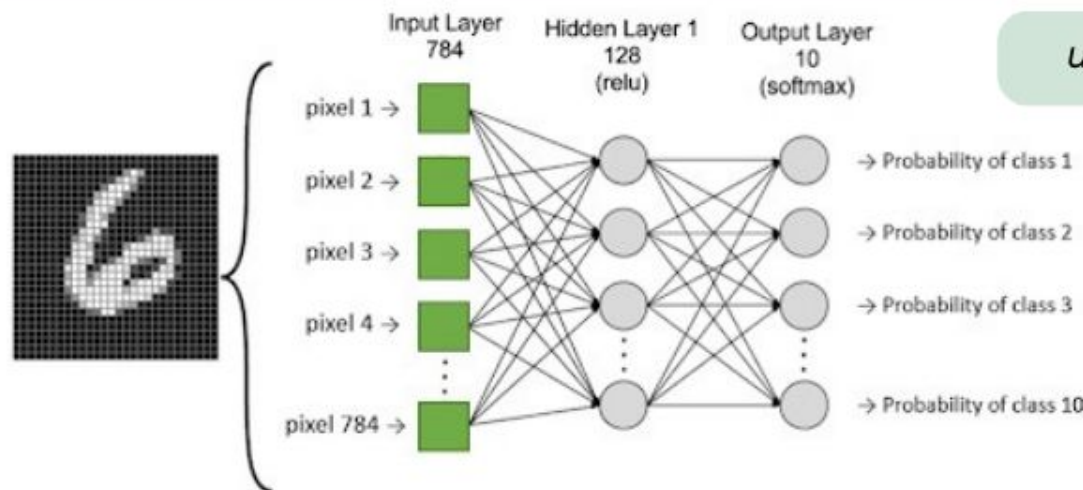
2 équations / couple de points
8 inconnues : **4 couples** pour H

- (H4) Terrain filmé tel que les sommets de la longueur opposée soient "au dessus" des autres



RÉSEAU DE NEURONES - PRINCIPE

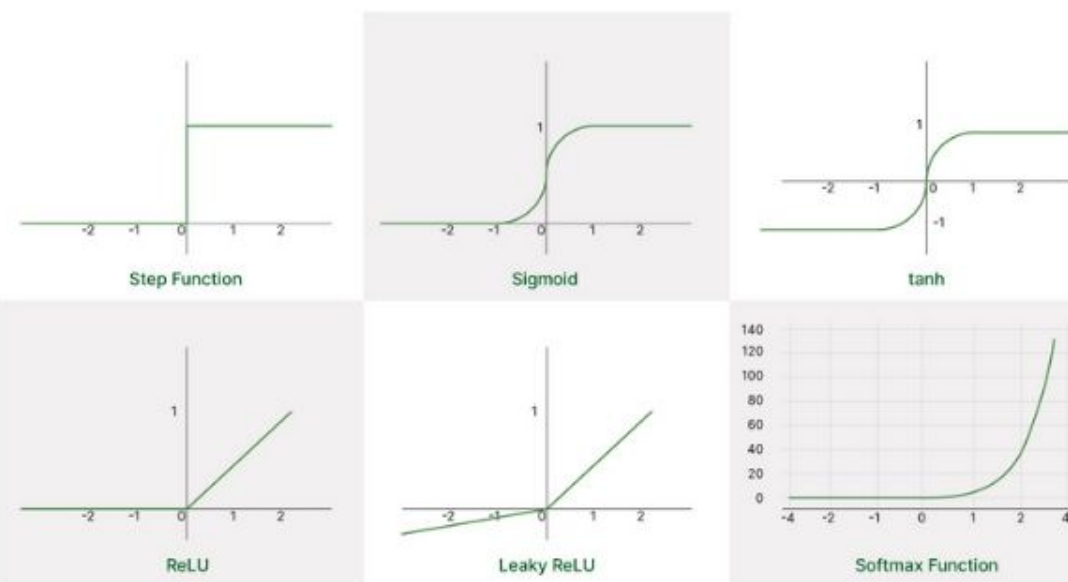
Détection d'objet = Classification + Localisation



underfitting - overfitting

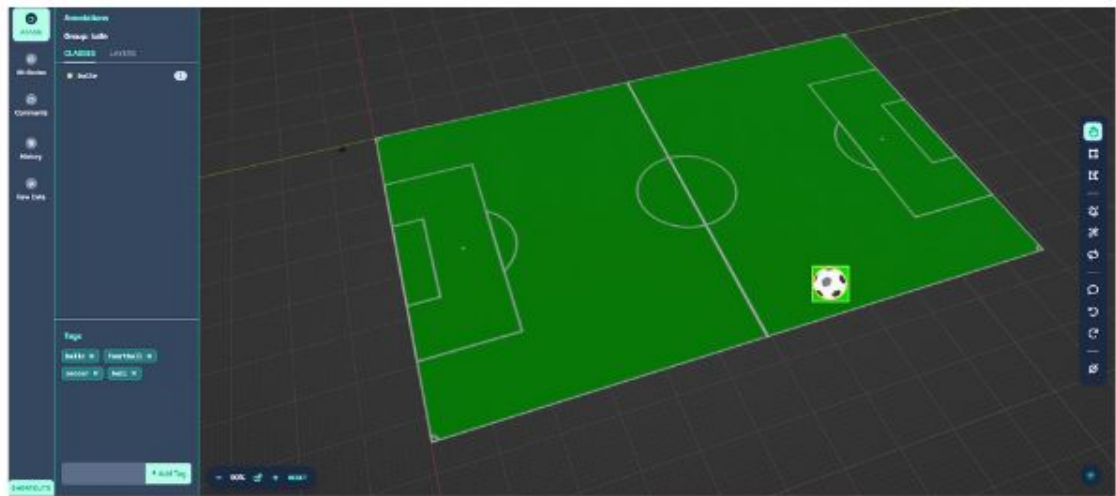
Réseau de neurones
© DataScientest.com

Feed Forward →
Back propagation <--



Fonctions d'activation
© Shiksha.com

RÉSEAU DE NEURONES - ENTRAÎNEMENT DU MODÈLE



Interface d'annotation *Roboflow*



Image "augmentée"

base de données :

- Images générées par CAO (blender)
- Photos

1. Annotation images

2. Augmentation de la base de données :

- Rotation
- Exposition, Saturation
- Flou, bruit

3. Entraînement

RÉSEAU DE NEURONES - EVALUATION DE LA PRÉCISION

mAP : mean Average Precision

$$precision = \frac{VP}{VP + FP}$$

Boxloss localisation + dimensionnement

Classloss classe

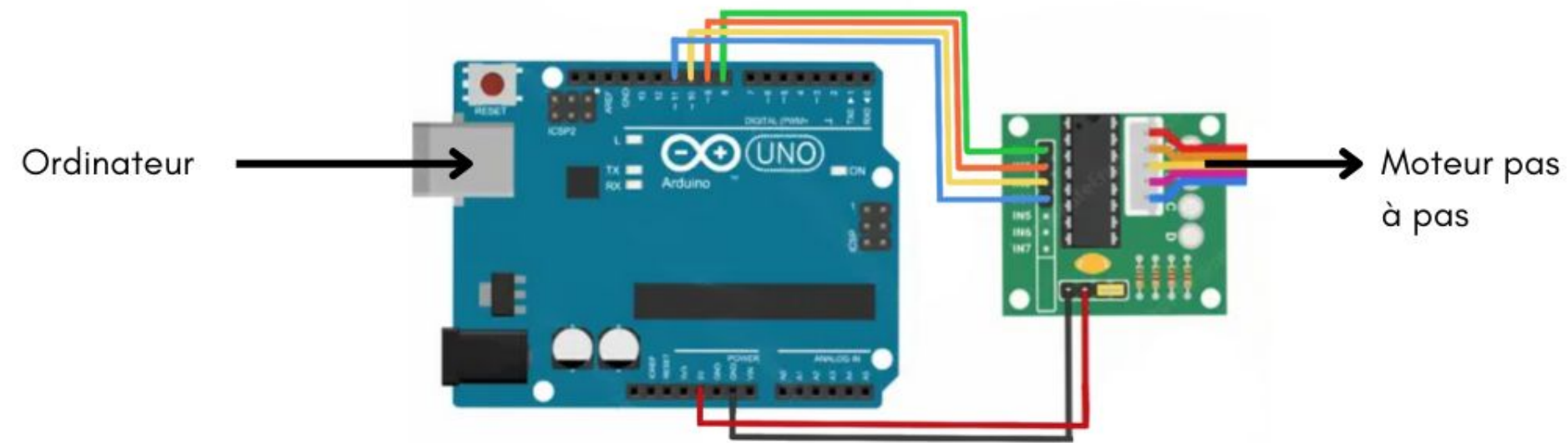
Objectloss confiance



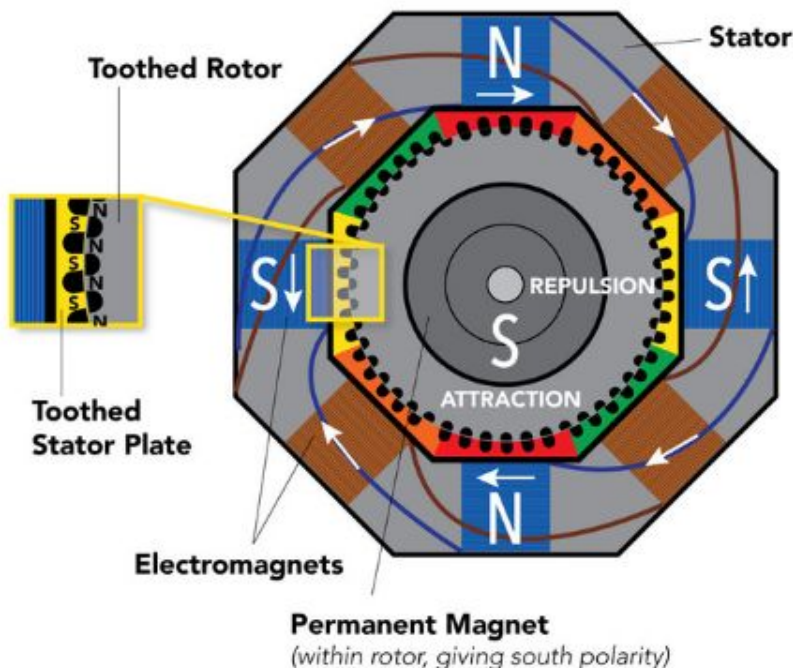
Exemple de détection

```
{
  "predictions": [
    {
      "x": 233.5,
      "y": 121.5,
      "width": 9,
      "height": 11,
      "confidence": 0.703,
      "class": "balle",
      "class_id": 0,
      "detection_id": "2b3972"
    }
  ]
}
```

ÉLECTRONIQUE - MONTAGE

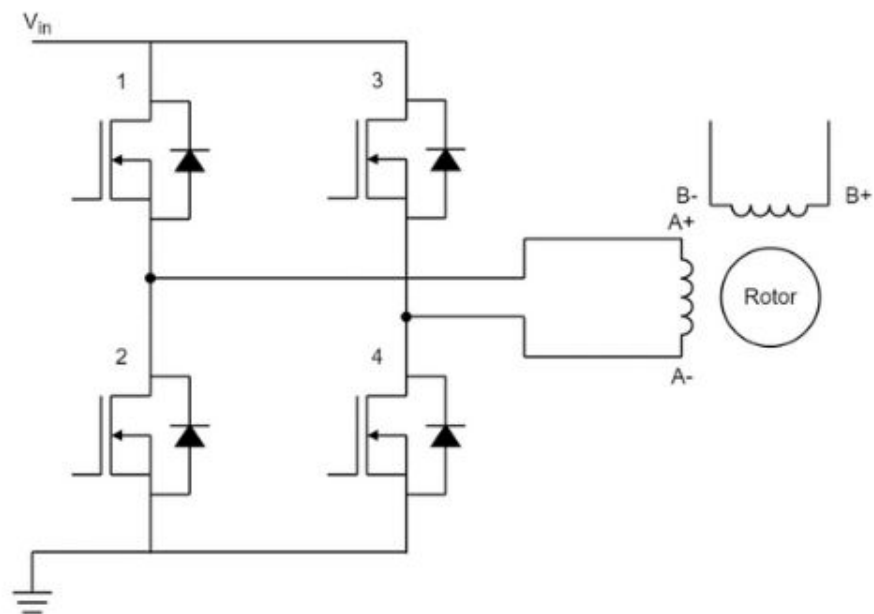


ÉLECTRONIQUE - MOTEUR PAS À PAS



Moteur pas à pas

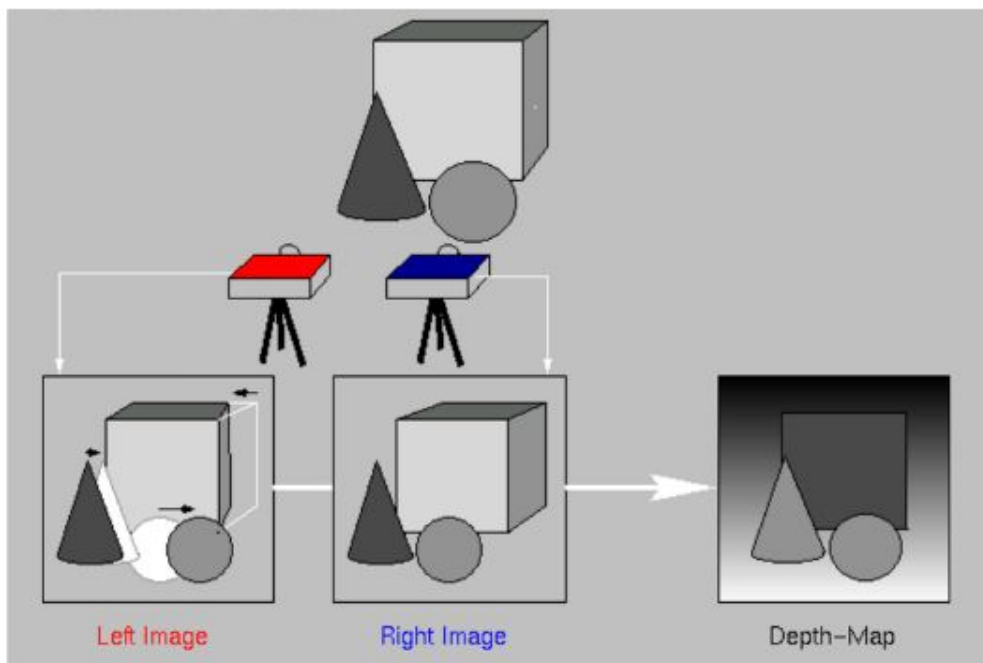
© Clippard.com



Moteur pas à pas

© Monolithic Power Systems

STÉRÉOVISION ET RECONSTITUTION 3D



Stéréovision

© Rolf Henkel



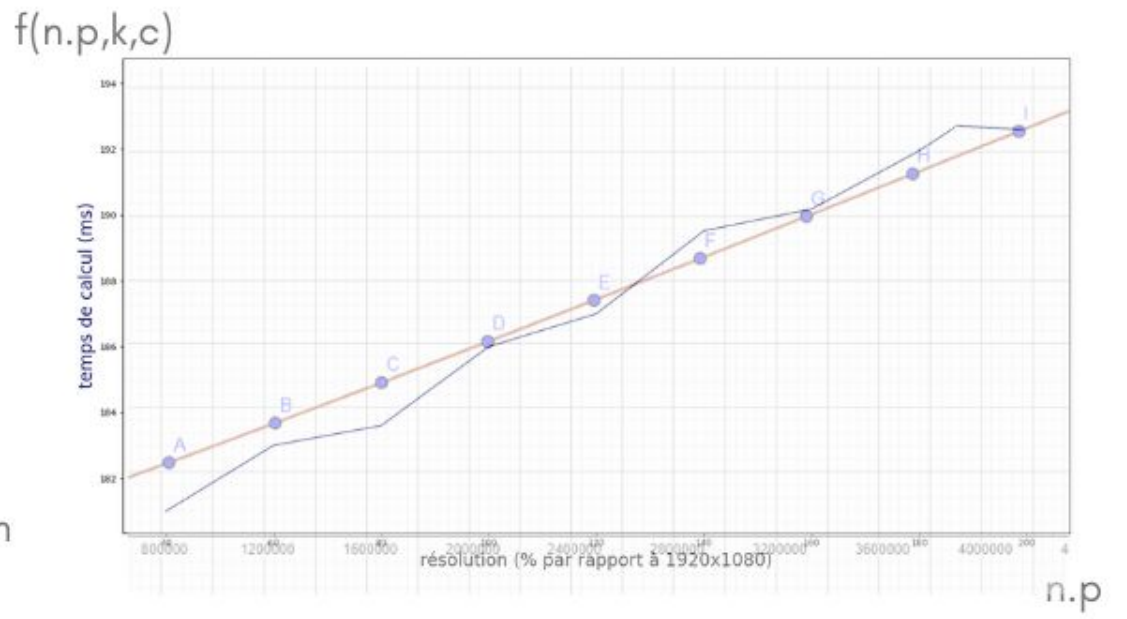
Caméra Veo

© Veo

Etude de la fonction `position_x(image)`:

$$\mathcal{O}(n.p[\log(n.p)+k]+k.c.\log(c))$$

- $n.p$: taille image
- k : nombre contours détectés (à priori 1)
- c : nombre de points dans les contours



BIBLIOGRAPHIE

- [1] **FIFA : The incredible technology in World Cup ball** : <https://www.fifa.com/fifaplus/en/watch/weFbPlyOvE2WX4b-1hJzPw>, à partir de 42s, consulté le 17/10/23
- [2] MANON KOK, JEROEN D. HOL, THOMAS B. SCHÖN : **Using Inertial Sensors for Position and Orientation Estimation : Foundations and Trends in Signal Processing** : Vol. 11: No. 1-2 (2017), p.70-71
- [3] TAKEHIRO YAMAZAKI, MASAO SHIMIZU : **A Measuring Method for 3D Trajectory using Straightforward Triangulation** : College of Science and Technology, Nihon University : Conference draft program (2018), p.293
- [4] ASSOCIATION FOR ADVANCING AUTOMATION : **Usages pour les moteurs pas-à-pas** : <https://www.automate.org/blogs/what-kinds-of-applications-are-best-for-stepper-motors>, consulté le 21/10/23
- [5] ACADEMIE DE LIMOGES : **Systèmes de transformation de rotation en translation** : http://pedagogie.ac-limoges.fr/sti_si/accueil/FichesConnaissances/Sequence3SSi/co/S3B22_Association_modele_composant_8.html, consulté le 23/10/23
- [6] IBM : **Apprentissage supervisé ou non supervisé** : <https://www.ibm.com/blog/supervised-vs-unsupervised-learning/> consulté le 15/11/23